

فعالیت ماقمایی بازالی منطقه حلب-نوبران: مثالی از فعالیت ماقمایی کرتاسه پسین در کمان ماقمایی ارومیه-دختر

فریبا جمشیدی^۱، محسن مرتضوی راوری^{*}، عباس آسیابانها^۲

۱- گروه زمین شناسی، دانشکده علوم پایه، دانشگاه هرمزگان، بندرعباس، ایران

۲- گروه زمین شناسی، دانشکده علوم پایه، دانشگاه بین‌المللی امام خمینی(ره)، قزوین، ایران

(دریافت مقاله: ۱۴۰۱/۹/۱۵، نسخه نهایی: ۱۴۰۱/۱۱/۸)

چکیده: فعالیت ماقمایی بازیک کرتاسه پسین در بخش شمالی کمان ماقمایی ارومیه-دختر شامل سنگ‌های بازالی و آندزیت بازالی آهکی قلیابی (دگرگونه) است که گاه همراه با سنگ‌های مختلف آذرآواری و رسوبی تشکیل شده‌اند. این سنگ‌ها با الگوهای زمین-شیمیابی مشابه‌ی شامل غنی‌شده‌ی عناصر خاکی نادر سبک (LREE) و سنگ دوست بزرگ یون (LILE) و تهی‌شدگی از عناصر با شدت میدان بالا (HFSE; Nb, Ta, Ti) مشخص می‌شوند. این شواهد زمین‌شیمیابی بیانگر فعالیت ماقمایی در ارتباط با قوس‌های آتشفسانی و محیط فرورانش هستند. افزون بر این، الگوهای تقریباً مسطح عناصر خاکی نادر سنگین (HREE)، الگویی مشابه بازال-های جزایر اقیانوسی (OIB) را به یاد می‌آورند. سنگ‌های بازالی مورد بررسی با نسبت‌های اولیه $^{87}\text{Sr}/^{86}\text{Sr}$ از ۰,۷۰۴۱۴ تا ۰,۷۰۴۰۶ و مقادیر مثبت و یکنواخت $^{14}\text{Nd}/^{13}\text{Nd}$ از ۱ تا ۴/۴ مشخص می‌شوند، که بیانگر ترکیب گوشه‌ای خاستگاه این سنگ‌هاست. مدل‌سازی عناصر کمیاب و ایزوتوبی نشان می‌دهد که سنگ‌های مورد بررسی از ذوب بخشی یک گوشه سنگ کره ای دگرنهاده در عمق تغییر اسپینل به گارنت شکل گرفته‌اند. فعالیت ماقمایی در این منطقه به احتمال بسیار در یک محیط آتشفسانی کمانی ناشی از بالا آمدن سست کره در پاسخ به عقبگرد سنگ کره اقیانوسی و در نتیجه کشش صفحه بالایی در ۸۰ میلیون سال پیش انجام شده است.

واژه‌های کلیدی: سنگ‌های آتشفسانی کرتاسه، کمان ماقمایی ارومیه-دختر، نظام کششی، گوشه سنگ، کرمایی، اجزای در ارتباط با فرورانش.

به نام نئوتیس در جنوب، بین دو صفحه قاره‌ای عربستان و ایران مرکزی، شروع به باز شدن کرد [۳]. تا کنون نظرات متفاوتی برای زمان شروع فرورانش اقیانوس نئوتیس به زیر ایران مرکزی ارائه شده است، برای مثال تریاس پسین-ژوراسیک پیشین [۴]، ژوراسیک پسین [۵] و ژوراسیک میانی [۶]. کوهزاد زاگرس نیز که به عنوان بخش ایرانی کمربند کوهزایی آلپ-هیمالیا در نظر گرفته می‌شود، ناشی از فرورانش سنگ کره اقیانوسی نئوتیس به زیر خردقاره ایران مرکزی است [۳].

مقدمه زمین‌شناسی فلات ایران به عنوان منطقه‌ای فعال در کمربند کوهزایی آلپ-هیمالیا به شدت وابسته به تاریخ تکاملی اقیانوس‌های تیتیس بوده و خود شامل چند واحد زمین‌ساختی است که توسط گسل‌های اصلی از هم جدا شده‌اند [۱].

در اواخر دوره پرمین، به دنبال حرکت رو به شمال صفحه ایران مرکزی و برخورد با صفحه اوراسیا، اقیانوس پالئوتیس در شمال شروع به بسته شدن نمود [۳،۲] و حدود همان زمان، در پی بسته شدن اقیانوس پالئوتیس در شمال، اقیانوس جدیدی

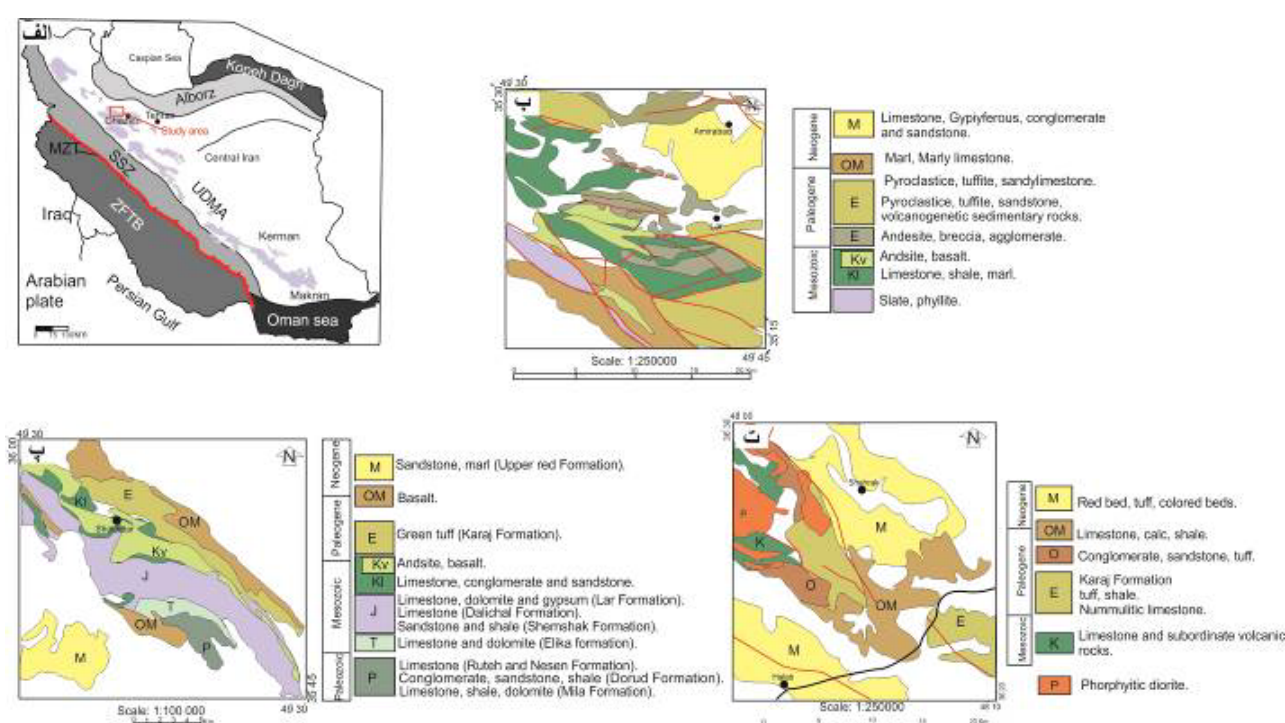
های دگرگونه کرتاسه در پهنه سندج-سیرجان مشخص می-شود که کرتاسه برخلاف گزارش‌های پیشین که آن را زمان خاموشی و سکون کامل فعلیت‌های ماقمایی در زمین‌شناسی ایران در نظر گرفته‌اند [۱۲]؛ دوره سکون کامل ماقما نیست و بررسی دگرگونی‌های ماقمایی این زمان می‌تواند در روش شدن چگونگی انتقال کمان ماقمایی از پهنه سندج-سیرجان به کمان ماقمایی ارومیه-دختر مفید باشد. از این رو در این پژوهش، با بررسی‌های سنگ چینه‌نگاری، سنگنگاری، زمین‌شیمی سنگ کل و ایزوتوبی سنگ‌های آتشفسانی در مناطق نوبران، آوج و حلب، خاستگاه سنگ‌های بازالتی، دگرگونی‌های ماقمایی در ارتباط با فرورانش سنگ کره اقیانوسی نتوتیس و همچنین تاریخچه مختصراً از زمین پویایی این پهنه در زمان کرتاسه پسین در مناطق یاد شده به روشنی ارائه شده‌اند.

زمین‌شناسی عمومی

کوهزاد زاگرس بر اساس روند ساختاری شمال‌غرب-جنوب شرق به سه بخش موازی [۳] شامل ۱) کمربند رورانده و چین‌خوردگی زاگرس، ۲) پهنه سندج-سیرجان و ۳) کمان ماقمایی ارومیه-دختر تقسیم می‌شود (شکل ۱ الف).

فعالیت‌های ماقمایی کرتاسه در پهنه سندج-سیرجان چون توده نفوذی ارومیه [۷]، نفوذی کرتاسه پیشین در منطقه حاجی آباد [۸] توده‌های گرانیتی ژوراسیک میانی تا کرتاسه پسین در همدان، لوگرانیت‌های کرتاسه پیشین اسفجرد [۹]، سنگ‌های نفوذی و آتشفسانی کرتاسه پیشین در جنوب سقر [۱۰] و مثال‌های بسیاری دیگر نشان می‌دهند که فرورانش تا پیش از آغاز ترشیری در این پهنه فعال بوده است. پس از مهاجرت فعلیت ماقمایی از پهنه سندج-سیرجان به سمت کمان ماقمایی ارومیه-دختر، عمله فعلیت ماقمایی در این کمان مربوط به زمان اوسن تا الیگوسن بوده [۱۱، ۱۲] که به صورت توده‌های نفوذی، آتشفسانه‌ای فعال و نیمه‌فعال تا به امروز ادامه یافته است.

پژوهش‌های بسیاری پیرامون فعلیت ماقمایی سنوزوئیک در کمان ارومیه-دختر انجام شده، با این حال فعلیت ماقمایی کرتاسه در این کمان کمتر بررسی شده است و اطلاعات دقیقی از ویژگی‌های زمین پویایی و خاستگاه سنگ‌های آتشفسانی این دوره در دسترس نیست. از بررسی سنگ‌های آتشفسانی کرتاسه در این پژوهش و نیز برخی رخمنون‌های پراکنده آتشفسانی



شکل ۱ الف) نقشه ساده شده زمین‌شناسی-ساختاری ایران [۱۲]؛ ب) نقشه ساده شده زمین‌شناسی منطقه نوبران [۱۴]؛ پ) نقشه ساده شده زمین‌شناسی منطقه آوج [۱۵]؛ ت) نقشه ساده شده زمین‌شناسی منطقه حلب [۱۳].

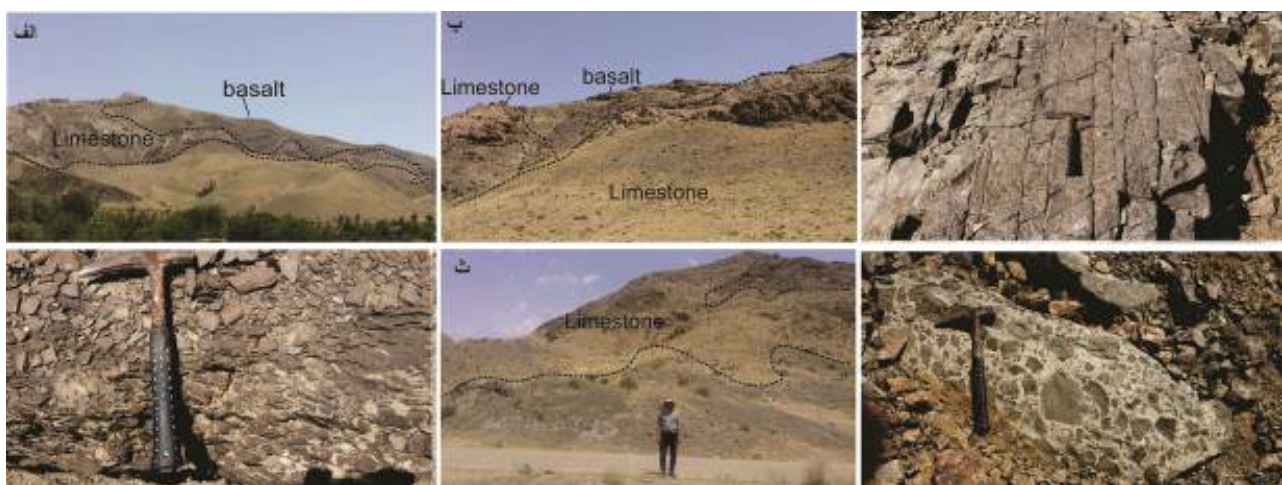
شده، سنگ‌ها و نهشته‌های آذرآواری و سنگ‌های رسویی واحدهای سنگ‌شناسی این مناطق را تشکیل می‌دهند (شکل ۲الف). قدیمی‌ترین رخمنون‌ها در منطقه نوبران سنگ‌های رسویی ژوراسیک و آهک‌های سنگواره‌دار دوره کرتاسه هستند که گاهی به صورت بین لایه‌ای با سنگ آتشفسانی منطقه دیده می‌شوند. سنگ‌های آتشفسانی بیشتر ناشی از فعالیت‌های آتشفسانی ائوسن و بهدرت کرتاسه هستند [۲۲]. فعالیت‌های آتشفسانی سنوزوئیک در نوبران از ائوسن پیشین آغاز شده و در ائوسن میانی و پسین به اوج خود رسیده‌اند. فعالیت‌های آتشفسانی و نفوذی در الیگوسن و میوسن نیز ادامه یافته و به صورت گدازه‌هایی با ترکیب باالتی، تراکی آندزیتی، آندزیتی و داسیتی، توفه‌های اسیدی و پهنه‌های کف سنگی ظاهر یافته‌اند. توده‌های نفوذی اغلب ترکیب گسترده‌ای از گابرو تا گرانیت دارند و به ترتیب سن ۳۳ تا ۲۵ میلیون سال [۲۳] را نشان می‌دهند. این توده‌ها سنگ‌های آتشفسانی را قطع نموده که گاهی سبب دگرگونی مجاورتی در تماس این توده‌ها با سنگ‌های میزان می‌شوند. سنگ‌های باالتی کرتاسه به رنگ خاکستری تیره تا سیاه گاهی با سطحی حفره‌دار که اغلب با کانی‌های ثانویه پر شده‌اند. بخش قابل توجهی از سنگ‌های این دوره را در منطقه تشکیل می‌دهند (شکل ۲ الف). قرارگیری این سنگ‌ها در بخش بالایی و گاهی به صورت متناوب با آهک‌های سنگواره‌دار (اوربیتولین‌دار) با سطح تماس کاملاً مشخص بیانگر سن کرتاسه برای تشکیل این سنگ‌هاست [۱۵] (شکل ۲ ب). در برخی مناطق، قطعه‌هایی از این آتشفسانی‌ها درون ماسه سنگ‌های آهکی دیده می‌شوند که به احتمال بسیار نشانگ فوران این آتشفسانی‌ها در محیطی دریایی و کم عمق هستند.

در منطقه آوج، سنگ‌های اسلیتی با سن تریاس پسین-ژوراسیک، سنگ‌های رسویی دگرگون شده کرتاسه، سنگ‌های آتشفسانی کرتاسه تا میوسن، توده‌های نفوذی میوسن پسین و سنگ‌های رسویی ترشیری و کواترنری از جمله رخمنون‌های سنگ‌شناسی در این منطقه هستند. سنگ‌های آتشفسانی ترکیبی از باالت-آنزیت، تراکی آندزیت، تراکیت و ریولیت دارند، هرچند که آندزیت‌ها سهم بیشتری از این سنگ‌ها را تشکیل می‌دهند. سنگ‌های باالتی به شکل رخمنون‌های کوچک و با گسترش کمتر نسبت به دیگر سنگ‌ها مشخص می‌شوند. سنگ‌های نفوذی با ترکیب بیشتر گابرو و دیوریت درون سنگ‌های قدیمی‌تر تزریق شده‌اند.

فعالیت ماقمایی در پهنه‌های سندج- سیرجان و ارومیه- دختر به فرورانش پوسته اقیانوسی نئوتیپس به زیر صفحه سنگ کره- ای ایران مرکزی و سپس برخورد صفحه‌های اوراسیا و عربی نسبت داده می‌شود. پهنه سندج- سیرجان از سنگ‌های دگرگونی پالئوزوئیک تا تریاس تشکیل شده است که توده‌های آهکی قلیایی بسیاری در آن‌ها نفوذ کرده‌اند [۱۶].

کمان ماقمایی ارومیه- دختر به طول ۲۰۰۰ کیلومتر و عرض ۱۰۰ تا ۱۵۰ کیلومتر، بین پهنه‌های ساختاری ایران مرکزی و سندج- سیرجان قرار دارد و میزان اصلی فعالیت ماقمایی دوران سنوزوئیک است [۱۷]. فعالیت گسترده سنگ-های ماقمایی ائوسن تا کواترنر در ارومیه- دختر، آن را به عنوان یک کمان آتشفسانی نوع آند معرفی می‌کند [۱۸]. سنگ‌های آتشفسانی ائوسن بیشتر شامل آندزیت، باالت و داسیت هستند که به صورت جریان‌های آذرآواری، گف سنگ و گدازه فوران کرده‌اند. این در حالی است که فعالیت‌های ماقمایی الیگو-میوسن به صورت توده‌های نفوذی با ترکیب دیوریت تا گرانیت، سنگ‌های آتشفسانی با ترکیب باالت تا ریولیت، سنگ‌های آذرآواری و همچنین کانسارهای فلزایی ظاهر می‌باشد. سنگ‌های ماقمایی ترشیری در این پهنه اغلب ماهیتی آهکی قلیایی دارند [۱۹]، در حالی که آتشفسانی‌های جوان‌تر ویژگی‌های قلیایی‌تر (قلیایی و شوشونیتی) را نشان می‌دهند [۲۰]. این تغییر در طبیعت ماقماً انتقالی پیشرونده از فعالیت ماقمایی وابسته به فرورانش به سوی فرآیندهای ماقمایی مربوط به برخورد و پس از برخورد را به یاد می‌آورد [۲۱].

مناطق مورد بررسی در این پژوهش شامل مناطق نوبران (شمال‌غرب ساوه)، آوج (جنوب‌غرب قزوین) و حلب (جنوب-غرب زنجان) هستند، که به ترتیب در نقشه‌های زمین‌شناسی ۱:۱۰۰۰۰۰ حلب (شکل ۱ ب) [۱۳]، ۱:۱۰۰۰۰۰ آوج (شکل ۱:۱۰۰۰۰۰۰ ب) [۱۴] و ۱:۲۵۰۰۰ ساوه (شکل ۱ ت) [۱۵] قرار دارند و از نظر ساختاری قسمت‌هایی از بخش شمالی پهنه ماقمایی ارومیه- دختر به شمار می‌آیند. با توجه به رخمنون محدود سنگ‌های کرتاسه در پهنه ارومیه- دختر، بررسی سنگ‌های آتشفسانی این مناطق به دلیل همسن و همراستا بودن آن‌ها و قرارگیری در راستای پهنه ارومیه- دختر این امکان را فراهم آورند که با بررسی گستره وسیع‌تر، تفسیر دقیق‌تری از فعالیت ماقمایی کرتاسه در بخش شمالی کمان ارومیه- دختر به دست آید. به طور کلی، طیفی از گدازه‌های سالم، دگرگون یا دگرسان



شکل ۲ (الف) رخنمونی از همراهی سنگ‌های بازالتی و رسوبی منطقه مورد بررسی؛ (ب) رخنمون گدازه‌های بازالتی بر روی آهک‌های کرتاسه در منطقه نوبران؛ (پ) نمای نزدیک از گدازه‌های بازالتی در منطقه مورد بررسی؛ (ت) کلیواژ تخته سنگی در بازالت‌های کرتاسه حلب؛ (ث) رخنمونی از سنگ‌های بازالتی در قاعده سنگ‌های آهکی کرتاسه در منطقه آوج؛ (ج) رخنمونی از برش‌های آتشفسانی در منطقه حلب مرز بین پنهنه سندنج-سیرجان و کمان ماجمایی ارومیه-دختر.

سنگنگاری

بافت عمدۀ سنگ‌های آتشفسانی مورد بررسی، پورفیری، شیشه پورفیری و ریزسنگی پورفیری است (شکل‌های ۳ الف، ب، پ). با این وجود، بافت‌های پوست ماری، جریانی و گلومروپورفیری نیز در آن‌ها دیده می‌شود. نمونه‌های بازالتی برگرفته از منطقه نوبران از درشت بلورهای پلازیوکلاز و پیروکسن به عنوان کانی‌های اصلی در زمینه‌ای از ریزسنگ‌های پلازیوکلاز، کانی‌های ریز کلینوپیروکسن، کانی‌های نامشخص و کدر تشکیل شده‌اند (شکل ۳ الف). اکسیدهای آهن و تیتانیوم مهمترین فازهای فرعی و کلریت، اپیدوت و کلسیت مهمترین کانی‌های ثانویه در این سنگ‌ها هستند. درشت بلورهای شکل‌دار پلازیوکلاز دارای ماکل آبیتی (شکل ۳ الف) هستند که در مواردی انگشت شمار به دلیل شدت دگرسانی، این کانی‌ها به صورت بخشی سریسيتی شده‌اند.

در منطقه آوج، دو نوع سنگ بازالتی از نظر کانی‌شناسی و بافت قابل مشاهده هستند. گروه نخست بیشتر از درشت بلورهای شکل‌دار پلازیوکلاز، کلینوپیروکسن، الیوین و گاهی شبه ریخت‌های الیوین به عنوان کانی‌های اصلی در زمینه‌ای از همین کانی‌ها تشکیل شده‌اند (شکل‌های ۳ ب، پ). کانی‌های نیمه شکل‌دار تا شکل‌دار کلینوپیروکسن در این سنگ‌ها به ندرت به کلریت تجزیه شده‌اند. بافت غربالی و منطقه‌بندی

سنگ‌های بازالتی کرتاسه پسین به عنوان موضوع این پژوهش، حفره‌دار به رنگ سبز تا خاکستری مایل به سیاه هستند که اغلب با لایه‌های به نسبت ضخیم (حدود ۶۰ متر) آهک سنگواره‌دار به سن ماستریشتن (کرتاسه پسین) پوشیده می‌شوند (شکل ۲ پ) و می‌تواند بیانگر یک محیط دریایی به نسبت عمیق در زمان تشکیل سنگ‌های آتشفسانی این منطقه باشد [۲۴].

واحدهای سنگی منطقه حلب با سنگ‌شناسی شبیه دو منطقه دیگر به ترتیب از قدیم به جدید شامل سنگ‌های آتشفسانی (بازالت، آندزیت بازالت) و آتشفسانی‌های دگرگون شده (متابازالت) کرتاسه، سنگ‌های آهکی، آذرآواری، آتشفسانی‌های ائوسن، واحدهای کنگلومرایی الیگوسن و سنگ‌های رسوبی و آذرآواری میوسن هستند. برگوارگی تخته سنگی مهمترین ساختار دیده شده در واحدهای متابازالتی منطقه حلب در اغلب واحدها است (شکل ۲ ت). آتشفسانی‌های کرتاسه گاهی به صورت بین‌لایه‌ای با آهک‌های سنگواره‌دار کرتاسه دیده می‌شوند (شکل ۲ ث) که سن کرتاسه پسین را برای این سنگ‌ها تایید می‌کنند. رخنمون‌های آذرآواری شامل برش‌های آتشفسانی، بلور توف‌سنگی و آگلومرا جوش آتشفسانی نیز بخش قابل توجهی از منطقه را نیز در برگرفته‌اند (شکل ۲ ج).

روش‌های بررسی

تجزیه عناصر اصلی و فرعی سنگ کل

پس از بازدیدهای صحرایی، از تعداد ۲۰۰ نمونه، مقطع نازک تهییه و ویژگی‌های میکروسکوپی آنها با میکروسکوپ قطبشی بررسی شد. در این مرحله سعی شد تا نمونه‌های با کمترین دگرسانی و کانی‌های ثانویه برای تجزیه‌های شیمیایی انتخاب شوند (۱۷ نمونه). تجزیه ترکیب اکسیدهای عناصر اصلی و فرعی به ترتیب با طیفسنجی فلئورسانس پرتوی ایکس (XRF) و طیفسنجی جرمی پلاسمای جفت شده القایی (ICP-MS) در آزمایشگاه اکتلب کانادا به روش مرجع [۲۵] انجام شد. برای تجزیه به روش ICP-MS حدود ۰/۱ گرم از پودر سنگ در HF-HNO₃ به نسبت ۱ به ۴ حل، سپس خشک و دوباره در HNO₃ ۴۰٪ حل شد. در این روش از استاندارد داخلی شامل ۱۵ پی‌بی‌بی In و Rn در آب بسیار خالص استفاده شد. برای واسنجی، چهار استاندارد JB-1، NIM-S، AN-G و GA در روند تجزیه‌ها به کار رفته‌اند. دقیق اندازه‌گیری‌ها حدود ۱۰ درصد (JB-1) برای همه عناصر کمیاب به جز V، As، Pb، Ta، Hf، Tb، Sb، Mo، Rb و محاسبه شد.

نوسانی نیز در پلازیوکلازهای این منطقه معمولاً دیده می‌شود (شکل ۳ پ). گروه دوم شامل سنگ‌های بازالتی است که از کانی‌های سالم و نیمه شکل‌دار الیوین با درصد حجمی بیشتری نسبت به گروه نخست و اغلب با شکستگی‌های عرضی به عنوان تنها درشت‌بلور این سنگ‌ها در زمینه‌ای ریزسنگی شامل ریزبلورهای پلازیوکلاز و کلینوپیروکسن تشکیل شده‌اند (شکل ۳ ت). بافت اصلی این سنگ‌ها ریزسنگ پورفیری است و بافت گلومرپورفیری ناشی از انباست درشت‌بلورهای کلینوپیروکسن و پلازیوکلاز و همچنین الیوین و پلازیوکلاز نیز در این سنگ‌ها دیده می‌شود (شکل ۳ ث). نمونه‌های بازالتی حلب مانند نمونه-های بازالت نیز گروه نخست در منطقه آوج از درشت‌بلورهای پلازیوکلاز، کلینوپیروکسن و کمتر الیوین در زمینه‌ای از ریزسنگ‌های پلازیوکلاز و شبیه تشکیل شده‌اند. سنگ‌های تراکی بازالت نیز ویژگی‌های کانیایی تقریباً شبیه بازالت‌ها را نشان می‌دهند، با این تفاوت که دارای مقادیر کمی فلدسپات قلیایی (۵ درصد حجمی) هستند و ریزسنگ‌های پلازیوکلاز حالت جریانی نشان می‌دهند. سنگ‌های آذرآواری در مناطق مورد بررسی اغلب از نوع بلور توف‌سنگی هستند که از کانی پلازیوکلاز، بیوتیت و شبیریخت‌های کاملاً کلریتی شده و قطعه‌های آندزیتی تشکیل شده‌اند (شکل ۳ ج).



شکل ۳ (الف) بافت پورفیری در سنگ‌های بازالتی منطقه نوبران؛ (ب) نمونه بازالتی با درشت‌بلورهای کلینوپیروکسن و پلازیوکلاز در زمینه‌ای از همین کانی‌ها (پ) درشت‌بلورهای پلازیوکلاز با منطقه بندي نوسانی در یک سنگ بازالتی در منطقه نوبران؛ (ت) درشت‌بلورهای الیوین در سنگ‌های بازالتی در منطقه آوج (ث) بافت گلومرپورفیری در یک نمونه تراکی بازالتی؛ (ج) قطعه‌های آندزیتی و درشت‌بلورهای پلازیوکلاز در یک سنگ آذرآواری از نوع توف سنگی.

Nb/Y نسبت به Zr/TiO_2 [۲۷]. این نمونه‌ها در گستره بازالت و یک نمونه از منطقه حلب در گستره آندزیت بازالت (شکل ۴ ب) قرار دارند. این سنگ‌ها در نمودار TAS (شکل ۴ الف) در گستره نیمه‌قلیایی تا قلیایی قرار می‌گیرند. بر پایه نمودار عناصر کمیاب و پایدار چون Y نسبت به Zr [۲۹] برای تعیین سری ماقمایی، نمونه‌های مورد بررسی به عنوان سنگ‌های سری گذرا رده‌بندی می‌شوند (شکل ۴ پ).

در این سنگ‌ها، تغییرات اکسیدهای عناصر اصلی و کمیاب نسبت به SiO_2 [۳۰] در نمودارهای هارکر بررسی شد (نشان داده نشد). با افزایش سیلیس، اکسیدهای CaO, MgO و FeO و عناصر Cr, Ni و V روندی نزولی نشان می‌دهند. این تغییرات مربوط به کاهش فراوانی مودال کانی‌های پلازیوکلاز، پیروکسن، آمفیبول و اکسیدهای Fe-Ti در این نمونه‌ها با افزایش سیلیس است. کاهش اکسیدهای Al_2O_3 و CaO با افزایش سیلیس می‌تواند نشان‌دهنده تبلور پلازیوکلاز و نیز هورنبلند از ماغما و با دگرگونی ترکیبی پلازیوکلاز از کلسیمی به سدیمی طی تبلور بخشی ماغما باشد. از سوی دیگر، آلبیتی شدن پلازیوکلاز نیز می‌تواند باعث ارتباط ضعیف CaO نسبت به SiO_2 باشد. نمودار تغییرات اکسیدهای K_2O و Na_2O نسبت به سیلیس روند مشخصی را نشان نمی‌دهد. گستره تغییرات گستره این اکسیدها در نمونه‌های مورد بررسی را می‌توان به تحریک‌پذیری بالای پتاسیم و سدیم در فرآیند دگرسانی نسبت داد. Rb و Ba می‌توانند جانشین K در کانی-هایی چون فلدسپار قلیایی شوند و در نمونه‌های مورد بررسی، طی تغییرات گستردگی دارند و با افزایش مقدار سیلیس، روند کلی صعودی را نشان می‌دهند.

الگوهای عناصر فرعی سنگ‌های مورد بررسی در نمودارهای عنکبوتی نشان‌دهنده غنی‌شدگی آن‌ها از عناصر سنگ دوست (Ti, Nb) بزرگ یون (LILE: K, Cs, Ba) و تهی‌شدگی در (HFSE)ها نسبت به گوشه‌های اولیه هستند [۳۱] (شکل ۵ الف). ناهنجاری منفی Ti, Nb از ویژگی‌های ماقمایی وابسته به پهنه‌های فرورانش است و ناهنجاری مثبت عنصر Pb به دگرنهادی گوه گوشه‌های توسط سیال‌های برآمده از پوسته اقیانوسی فرورونده و یا آلایش ماغما با پوسته قاره‌ای طی فرآیند صعود نسبت داده می‌شود [۳۲]. از این رو، ناهنجاری منفی Ti, Nb همراه با غنی‌شدگی به نسبت زیاد Pb می‌تواند مربوط با ماقمای تشکیل شده طی فرآیند فرورانش و در بی‌آن آلایش

تجزیه ترکیب‌های ایزوتوپی نبودیمیوم-استرانسیوم

بر اساس نتایج سنگ‌نگاری و زمین‌شیمیایی نمونه‌ها، تعداد ۳ نمونه بازالتی برای تجزیه‌های ایزوتوپی (Rb-Sr و Sm-Nd) در آزمایشگاه زمین‌شناسی ایزوتوپی دانشگاه آوبرو، کشور پرتغال انتخاب شدند. در گردآوری داده‌ها، دقت اندازه‌گیری برای همه نسبت‌های ایزوتوپی براساس استانداردهای JNd-1 و $^{143}Nd/^{144}Nd$ ۹۸۷ با میانگین مقادیر $^{144}Nd/^{143}Nd = ۰.۵۱۲۱۰ \pm ۰.۵۰$ و $^{87}Sr/^{86}Sr$ برابر با ۰.۷۱۰۲۶ ± ۰.۲۱ حدود ۹۵٪ اطمینان بود. هر دو نسبت‌های ایزوتوپی Sr و Nd با یک طیف‌سنج جرمی یونش گرمایی (TIMS) چند جمع کننده‌ای اندازه‌گیری و برای تفکیک جرمی نسبت به $^{87}Sr/^{86}Sr = ۰.۷۲۱۹$ و $^{143}Nd/^{144}Nd = ۰.۱۱۹۴$ تصحیح شدند.

نتایج

زمین‌شیمی عناصر اصلی، فرعی و خاکی نادر

با توجه به سن سنگ‌های آتش‌شانی مناطق مورد بررسی و همچنین دگرگونی‌های زمین‌ساختی آن‌ها، درجه‌هایی از دگرسانی در سنگ‌های مافیک بویژه در منطقه نوبران دیده می‌شود؛ از این‌رو، انتخاب نمونه‌هایی بدون دگرسانی اهمیت بیشتری دارد. مقادیر افت گرمایی (L.O.I) برای این سنگ‌ها در گستره ۱/۲ تا ۴/۹ درصد وزنی (به جز در دو نمونه با ۸/۲ و ۹/۶ درصد) اندازه‌گیری شده است و می‌تواند بیانگر سطح متوسط دگرسانی گرمایی در این سنگ‌ها باشد [۲۶]. مقدار SiO_2 در نمونه‌های مورد بررسی برابر با ۴۴/۸ تا ۵۴/۸ درصد وزنی (و یک نمونه با ۵۷ درصد وزنی) بوده که مشخصه سنگ‌های بازیک است [۲۷]. این سنگ‌ها با مقادیر K_2O و Na_2O به ترتیب ۲/۳ تا ۵/۸ درصد وزنی و ۰/۳ تا ۳/۱ درصد وزنی، و مقادیر بالای Al_2O_3 (۱۳/۶ تا ۱۸ درصد وزنی) مشخص می‌شوند (جدول ۱) و ویژگی‌های زمین‌شیمیایی ماقمایی دگرگونه را از نظر مقادیر Mg# (۳۳/۱ تا ۶۹) و MgO (۲ تا ۸/۱ درصد وزنی) نشان می‌دهند.

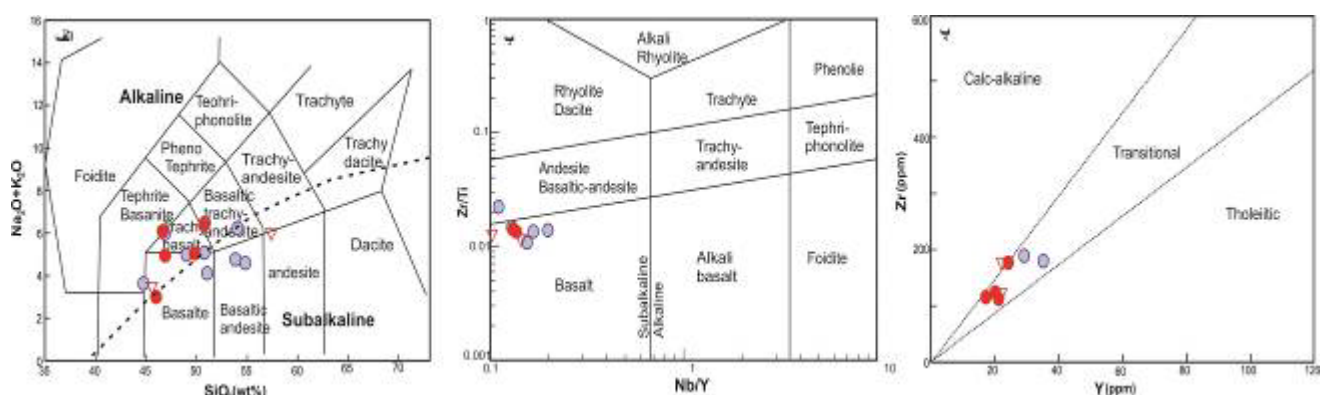
در نمودار SiO_2 نسبت به مجموع قلیایی‌های Na_2O+K_2O (شکل ۴ الف)، نمونه‌های منطقه آوج در گستره بازالت، و نمونه‌های دو منطقه دیگر در قلمرو گستردگی‌تری از بازالت، آندزیت بازالت و تراکی بازالت جایابی می‌شوند. با توجه به دگرسانی ثانویه در این سنگ‌ها، از نمودار نام‌گذاری بر اساس مقادیر عناصر با شدت بالا (HFSE) نیز برای رده‌بندی آنها استفاده شد. براساس نمودار رده‌بندی

ناهنجاری قابل توجهی از عنصر Sr در توده‌های نام برده دیده نمی‌شود.

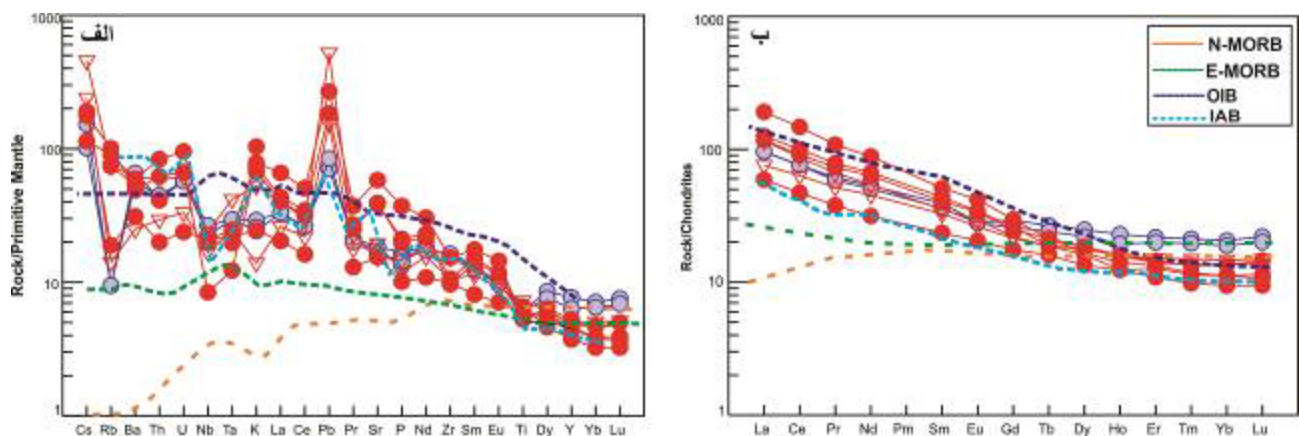
با مواد پوسته‌ای باشد [۳۳]. K در برخی نمونه‌ها ناهنجاری مثبت دارد و در برخی بدون ناهنجاری مشخص است.

جدول ۱ نتایج تجزیه شیمیایی عناصر اصلی (بر اساس Wt%) و عناصر فرعی (بر اساس ppm) سنگ‌های مافیک آتشفشنانی مناطق مورد بررسی.

Sample	B39	B38	B-20	B-32	B-33	B-35	B-41	B-44	B-45	N-17	SH-01	Sh3	Sh10	Sh2	Sh5	N17	N20
عناصر اصلی (wt%)																	
SiO ₂	54,83	51,04	53,84	54,06	50,82	46,87	50,78	44,76	49,01	45,96	46,66	46	49,81	46,89	50,73	45,59	57,4
TiO ₂	1,327	1,318	1,18	1,27	1,42	1,2	1,82	1,22	1,28	1,55	1,17	1,402	1,3	1,19	1,141	1,574	1,185
Al ₂ O ₃	17,2	18,05	17,99	17,15	18,65	15,87	16,46	15,62	15,79	17,76	16,05	13,63	18,01	15,25	17,06	17,44	17,26
Fe ₂ O _{3(t)}	8,03	9,53	8,64	8,44	10,16	8,68	9,28	9,81	10,71	8,33	12,27	11,34	9,72	11,89	9,55	8,05	7,55
MnO	0,073	0,12	0,17	0,11	0,15	0,18	0,17	0,29	0,21	0,17	0,29	0,159	0,144	0,21	0,172	0,151	0,119
MgO	3,03	2,62	2,46	3,91	4,06	4,58	3,6	7,61	8,7	2,08	5,25	13,01	0,16	4,92	3,24	1,98	2,08
CaO	7,02	8,8	7,93	3,41	2,9	6,63	6,8	10	5,97	12,22	7,55	9,22	10,36	9,05	7,31	12,3	4,51
Na ₂ O	3,86	3,23	4,55	5,76	6,15	5,79	4,61	3,24	4,2	3,09	2,97	2,26	3,02	2,72	4,03	3,08	4,43
K ₂ O	0,73	0,88	0,21	0,48	0,32	0,18	0,47	0,39	0,78	0,42	2,12	0,74	2,02	2,22	2,36	0,42	0,59
P ₂ O ₅	0,38	0,32	0,29	0,35	0,33	0,31	0,12	0,19	0,16	0,27	0,44	0,22	0,43	0,46	0,81	0,26	0,32
LOI	2,6	4,88	2,67	4,96	4,94	9,59	2,46	8,83	3,07	8,1	4,07	2,23	2,61	3,31	2,44	8,14	3,81
P	1571,3	1396,7	12657	1527,6	1440,3	1353,0	523,8	829,3	698,3	1178,4	1920,4	96,2	1878,8	20,77	3525,3	1134,8	1396,7
K	596,9	737,51	1742,3	3984,6	2608,4	1494,2	39,16	2227,5	6475,0	3486,5	2590,0,1	6142,0	16788,6	18428,9	19591,1	3486,5	13199,1
Ti	7955,4	79,14	70,74,1	7613,7	8512,9	7194,	4915,9	72313,9	7673,6	9292,3	7,14,2	84,0,5	7793,5	7134,1	6840,3	9436,1	71,4,1
عناصر کمیاب (ppm)																	
Ba	460	391	n.a.	n.a.	n.a.	n.a.	n.a.	n.a.	n.a.	n.a.	218	372	342	417	172	433	
Cs	0,8	1,2	n.a.	n.a.	n.a.	n.a.	n.a.	n.a.	n.a.	n.a.	1,0	<0,5	1,4	0,9	1,9	2,6	
Ga	18	21	n.a.	n.a.	n.a.	n.a.	n.a.	n.a.	n.a.	n.a.	15	19	17	18	19	20	
Hf	4,2	4,3	1,3	2,26	1,81	1,92	<0,5	<0,5	<0,5	2,82	2,12	2,7	2,7	2,6	2,7	2,9	
Nb	19	16	11,5	20,5	18,7	13,3	<1	<1	<1	10,3	7,4	10	14	6	15	12	17
Rb	6	6	n.a.	n.a.	n.a.	n.a.	n.a.	n.a.	n.a.	n.a.	12	47	36	57	9	47	
Sr	292	342	n.a.	n.a.	n.a.	n.a.	n.a.	n.a.	n.a.	n.a.	325	829	814	1230	412	323	
Ta	1,2	1,2	n.a.	n.a.	n.a.	n.a.	n.a.	n.a.	n.a.	n.a.	0,9	0,8	0,5	1	1	1,7	
Th	3,6	3,8	11,5	20,5	18,7	13,3	<1	<1	<1	15,3	7,4	17	3,5	5,3	7,1	2,5	5
U	1,2	1,2	n.a.	n.a.	n.a.	n.a.	n.a.	n.a.	n.a.	n.a.	0,5	1,4	2	0,7	1,3		
V	20,9	244	165	196	221	177	20,1	253	269	218	252	222	280	281	197	273	135
W	0	<1	n.a.	n.a.	n.a.	n.a.	n.a.	n.a.	n.a.	n.a.	<1	<1	<1	<1	7	<1	
Y	35	29	n.a.	n.a.	n.a.	n.a.	n.a.	n.a.	n.a.	n.a.	17	21	20	24	22	22	
Zr	174	183	75	10,4	11,2	10,4	14	15	22	10,7	115	111	10,8	119	171	119	172
Cr	<20	<20	15	14	15	13	10,2	21,0	228	74	28	210	<20	<20	100	30	
Ni	<20	<20	21,2	14,2	11,9	9,2	4,5	7,8	5,5	10,2	24,5	36	21	13	10	14	11
La	22,7	22,8	28	20	14	13	10	9	9	19	29	14	27,9	29,8	45,3	18	27,4
Ce	46,4	46,5	n.a.	n.a.	n.a.	n.a.	n.a.	n.a.	n.a.	n.a.	28,8	55,7	61,4	90,1	38,8	53,4	
Pr	5,82	5,04	n.a.	n.a.	n.a.	n.a.	n.a.	n.a.	n.a.	n.a.	3,59	6,97	7,46	10,3	4,91	6,3	
Nd	24,8	23,6	n.a.	n.a.	n.a.	n.a.	n.a.	n.a.	n.a.	n.a.	14,7	29,5	31,2	41,3	21,1	25,3	
Sm	6	5,5	n.a.	n.a.	n.a.	n.a.	n.a.	n.a.	n.a.	n.a.	3,6	6,2	8,7	7,8	5	5,4	
Eu	1,64	1,62	n.a.	n.a.	n.a.	n.a.	n.a.	n.a.	n.a.	n.a.	1,19	1,95	1,98	2,43	1,52	1,71	
Gd	6	5,3	n.a.	n.a.	n.a.	n.a.	n.a.	n.a.	n.a.	n.a.	3,6	5,1	5,4	6,1	4,4	4,5	
Tb	1	0,9	n.a.	n.a.	n.a.	n.a.	n.a.	n.a.	n.a.	n.a.	0,5	0,8	0,7	0,8	0,7	0,7	
Dy	6,3	5,6	n.a.	n.a.	n.a.	n.a.	n.a.	n.a.	n.a.	n.a.	3,4	4,2	4,1	4,7	4,5	4,6	
Ho	1,3	1,1	n.a.	n.a.	n.a.	n.a.	n.a.	n.a.	n.a.	n.a.	0,7	0,8	0,7	0,9	0,9	0,9	
Er	3,6	3,3	n.a.	n.a.	n.a.	n.a.	n.a.	n.a.	n.a.	n.a.	1,8	2,2	2,1	2,4	2,3	2,5	
Tm	0,54	0,5	n.a.	n.a.	n.a.	n.a.	n.a.	n.a.	n.a.	n.a.	0,25	0,3	0,29	0,34	0,25	0,38	
Yb	3,5	3,2	n.a.	n.a.	n.a.	n.a.	n.a.	n.a.	n.a.	n.a.	1,6	1,9	1,9	2,3	2,3	2,5	
Lu	0,56	0,51	0,29	0,32	0,29	0,34	0,21	0,31	0,3	0,42	0,3	0,24	0,29	0,27	0,37	0,35	0,38
Pb	5	6	n.a.	n.a.	n.a.	n.a.	n.a.	n.a.	n.a.	n.a.	n.a.	n.a.	<5	<5	12	11	37
Eu/Eu*	0,84	0,92	n.a.	n.a.	n.a.	n.a.	n.a.	n.a.	n.a.	n.a.	1,01	1,06	1,01	1,08	0,99	1,06	
(La/Yb)N	4,77	4,8	n.a.	n.a.	n.a.	n.a.	n.a.	n.a.	n.a.	n.a.	5,9	9,9	10,57	13,28	5,28	7,39	
(La,Sm)N	2,38	2,61	n.a.	n.a.	n.a.	n.a.	n.a.	n.a.	n.a.	n.a.	2,45	2,82	2,8	3,65	2,26	19,3	
(Eu/Yb)N	1,33	1,44	n.a.	n.a.	n.a.	n.a.	n.a.	n.a.	n.a.	n.a.	2,11	2,92	2,96	3	1,88	1,94	



شکل ۴ (الف) نمودار TAS [۲۸] برای ردیبندی سنگ‌های مورد بررسی؛ ب) نمودار Nb/Y نسبت به Zr/Ti [۲۷] برای ردیبندی سنگ‌های آتشفشاری بر اساس؛ پ) نمودار Y نسبت به Zr [۲۹].



شکل ۵ (الف) نمودار عنکبوتی عناصر فرعی بهنجار شده بر اساس گوشته اولیه [۳۱] و (ب) نمودار عنکبوتی عناصر خاکی نادر بهنجار شده به کندریت [۳۱] برای سنگ‌های مافیک منطقه مورد بررسی و مقایسه با ترکیب میانگین N-MORB, E-MORB, OIB و IAB. نشانه‌های استفاده شده همانند شکل ۴ هستند.

(HREE) نشان می‌دهند. غنی‌شدگی نسبی این عناصر با نسبت‌های $(\text{La}/\text{Sm})_N$, $(\text{La}/\text{Yb})_N$ و $(\text{Sm}/\text{Yb})_N$ نیز مشخص می‌شود که به ترتیب در گستره $۳.۲-۲.۵$, $۱۱.۶-۱۰.۵$ و $۰.۸-۱.۸$ تغییر می‌کنند. الگوهای تقریباً موازی این نمونه‌ها می‌توانند بیانگر درجه‌های جدایش مشابه و یا نشانگر ارتباط زیشی نمونه‌ها باشند. نبود هیچ ناهنجاری مثبت یا منفی Eu در سنگ‌های مورد بررسی ($\text{Eu}/\text{Eu}^*=0.8-1.1$) به همراه نبود ناهنجاری قابل توجهی از عنصر Sr می‌تواند به دلیل سهیم نبودن پلازیوکلاز به عنوان فاز مداخله کننده طی فرآیند ذوب بخشی سنگ خاستگاه و یا عدم تبلور جداشی آن از ماغما باشد. افزون بر این‌ها، تبلور همزمان کانی‌های پلازیوکلاز و آمفیبیول و یا پلازیوکلاز و کلینوپیروکسن از ماغما نیز می‌تواند ناهنجاری Eu را تعديل کند [۳۴].

در مورد منطقه مورد بررسی، به نظر می‌رسد که بیش از یک عامل در این ایجاد این ناهنجاری‌ها دخالت داشته‌اند. ویژگی‌های عناصر کمیاب در بازالت‌های مورد بررسی تفاوت معنی‌داری به بازالت پشت‌های میان اقیانوسی نوع مورب عادی (N-MORB) و شباهت‌هایی به بازالت‌های جزیره‌ای اقیانوسی (OIB) و بازالت پشت‌های میان اقیانوسی نوع مورب غنی‌شده (E-MORB) از نظر غنی‌شدگی از LILE‌ها و تهی‌شدگی از HFSE‌ها دارند و از این نظر، بیشترین شباهت را به مذاب‌های برآمده از یک منبع شبیه OIB اما دگرنهاده نشان می‌دهند (شکل ۵ (الف)).

در نمودار بهنجار شده با کندریت [۳۱] (شکل ۵ (ب)), همه نمونه‌های مناطق مورد بررسی غنی‌شدگی نمایانی از عناصر خاکی نادر سبک (LREE) نسبت به عناصر خاکی نادر سنگین

دگرسانی با درجه‌های متغیر در برخی از سنگ‌های آتشفشنایی مورد بررسی هستند. از این رو، مهم است که پیش از تفسیر نتایج، نخست اثر دگرسانی بر نمونه‌های بررسی شده ارزیابی گردد.

عناصر با شدت میدان بالا (Hf, Ta, Nb, Y, Zr, Ti, Co) و فلزهای واسط (REE: Lu تا La) و غیره) بی حرکت‌تر از عناصر سنگ دوست بزرگ Sc, Ni, Cr و غیره) در سنگ‌های یون (؛ Na, K, Cs, Sr, Rb, Ba و غیره) در سنگ‌های ماقمایی طی دگرسانی دمای پایین هستند [۳۵]. تحرک عنصری برای سنگ‌های آتشفشنایی با رسم عناصر نسبت به Zr (به عنوان عنصری غیرمتحرک) بررسی شد. نمونه‌های آوج روند L.O.I به نسبت صعودی را در نمودار Na_2O و K_2O نسبت به Na_2O و K_2O نشان می‌دهند در حالیکه سایر نمونه‌ها هیچ روندی را در نمی‌کنند که بیانگر اثر دگرسانی بر نمونه‌های منطقه آوج در مقایسه با سایر نمونه‌های است. با این وجود، همبستگی تقریباً صعودی اما پراکنده K_2O و Na_2O با Zr می‌تواند نشان دهنده اثر دگرسانی بر این عناصر باشد [۳۶]. همبستگی متوسط بین عناصر Hf, Th, Nb, La و REE به عنوان نمایندگانی از HFSE‌ها و REE‌ها نسبت به Zr (آورده نشده است)، نشان می‌دهد که این عناصر به نسبت نامتحرك رفتار نموده‌اند [۳۷]. بنابراین، در این پژوهش از عناصر متحرک با احتیاط استفاده نموده و بیشتر روی عناصر کم‌تحرک برای بررسی فرآیندهای ماقمایی تمرکز کرده‌ایم.

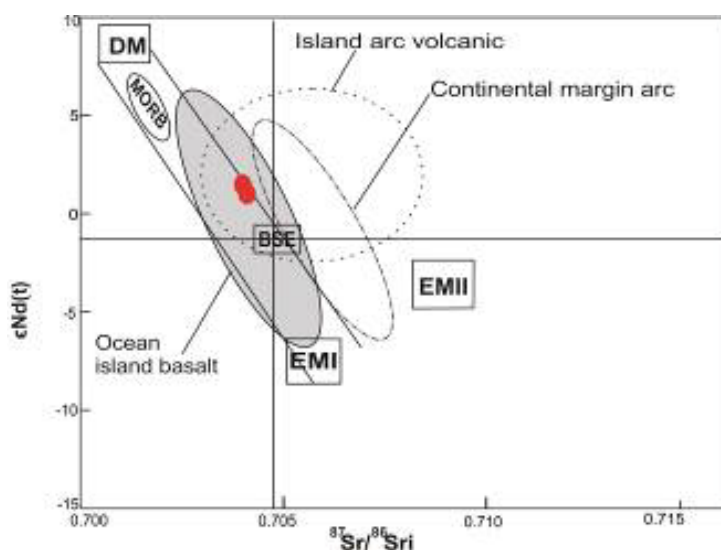
زمین شیمی ایزوتوبی

مقادیر ϵNd نسبت به $^{87}\text{Sr}/^{86}\text{Sr}$ اولیه مربوط به نمونه‌های انتخابی مورد بررسی در نمودار ایزوتوبی Sr-Nd جایابی شده‌اند (شکل ۶). نسبتهای اولیه $^{87}\text{Sr}/^{86}\text{Sr}$ و مقادیر ϵNd بر اساس سن ۸۰ میلیون سال (بدست آمده از سن سنگواره‌های شاخص در این منطقه) محاسبه شده‌اند. $^{143}\text{Nd}/^{144}\text{Nd}$, $^{87}\text{Sr}/^{86}\text{Sr}$ و ϵNd به ترتیب مقادیری برابر با ۰.۷۰۶۷، ۰.۵۱۲۵۸ و ۰.۵۱۲۷۴ مقداری از ۱ تا ۴/۱۴ را نشان می‌دهند. گستره نسبتهای ایزوتوبی Nd و Sr برای نمونه‌های مورد بررسی نشان می‌دهد که آن‌ها از یک خاستگاه گوشتی ای تهی شده در یک محیط فرورانش جزیره کمانی طی فرورانش شکل گرفته و از ماهیت اولیه خود در اثر مواد برآمده از صفحه فرورونده فاصله گرفته‌اند. براساس نمودار ایزوتوبی Sr-Nd نیز، این سنگ‌ها در گستره باالت‌های جزایر اقیانوسی (OIB) و به سمت EM-II قرار دارند (شکل ۶) که می‌تواند نشان دهنده فرآیندهای ماقمایی مربوط به سامانه باز (با در نظر گرفتن نقش آلودگی پوسته)، فرآیندهای غنی‌شده‌ی پیش از تشکیل و یا یک خاستگاه (گوشتی سنگ کره‌ای زیر قاره‌ای (SCLM) باشد.

بحث

ارزیابی اثر دگرسانی

چنان که در بخش سنگ‌نگاری بیان شد، وجود کانی‌های ثانویه چون کلریت، سریسیت، کلسیت و کانی‌های رسی و مقادیر متغیر LOI (۹/۶-۲/۲ درصد وزنی، جدول ۲) شواهدی از



شکل ۶ نمودار مقادیر Nd برای نمونه‌های منطقه مورد بررسی (DM: باالت‌های پشت‌های میان اقیانوسی؛ زمین سیلیکات حجیم OIB: باالت‌های جزایر اقیانوسی = EMI (گوشتی غنی شده نوع دو؛ EMII: (گوشتی غنی شده نوع دو [۳۲]). نشانه‌های استفاده شده مانند شکل ۴ هستند.

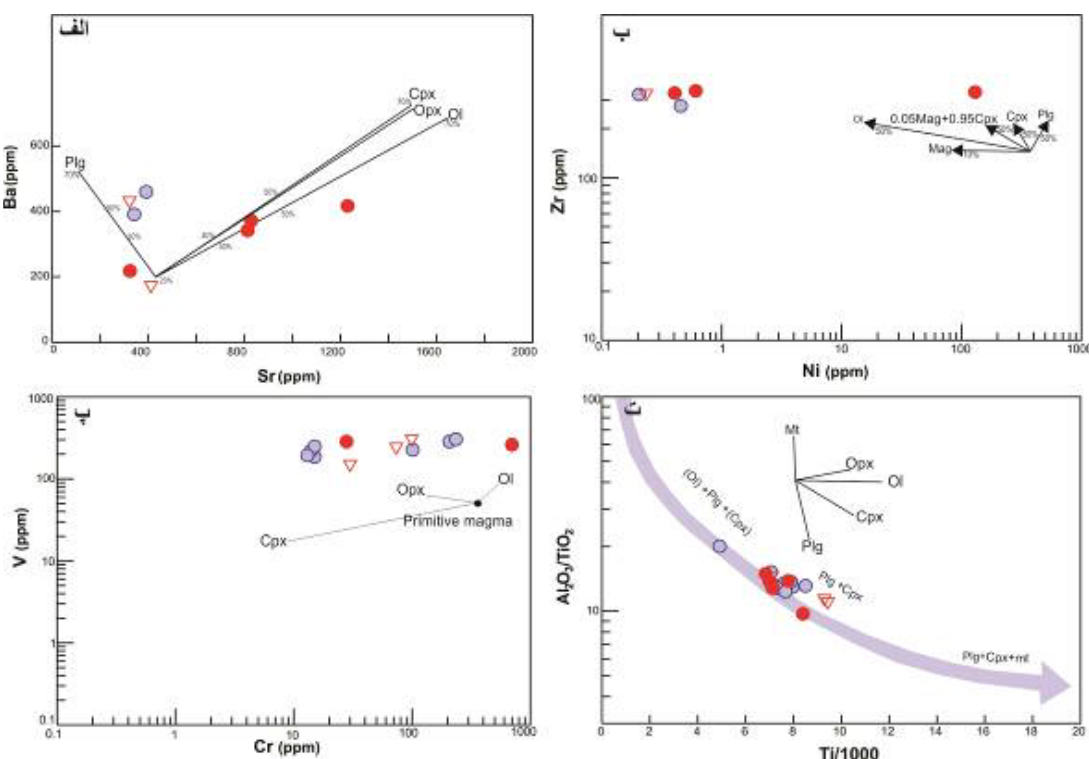
جدول ۲ نتایج تجزیه ایزوتوپی Sr-Nd برای سنگ‌های مافیک آتشفسانی مناطق مورد بررسی

نمونه	Age	$^{87}\text{Rb}/^{86}\text{Sr}$	$^{87}\text{Sr}/^{86}\text{Sr}$	Erro (2s)	$^{87}\text{Sr}/^{86}\text{Sr}_{\text{i}}$	$^{147}\text{Sm}/^{144}\text{Nd}$	$^{143}\text{Nd}/^{144}\text{Nd}$	Erro (2s)	$\epsilon\text{Nd(t)}$	$^{143}\text{Nd}/^{144}\text{Nd}_{\text{i}}$
B 39	۸۰	۰,۱۴۴	۰,۷۰۴۵۲	۰,۰۰۰۰۲۵	۰,۷۰۴۴۷	n.a.	n.a.	n.a.	n.a.	.
Sh 3	۸۰	۰,۱۰۷	۰,۷۰۴۱۶	۰,۰۰۰۰۲۴	۰,۷۰۴۰۴	۰,۱۴	۰,۵۱۲۶۹	۰,۰۰۰۰۲۳	۱,۴۷	۰,۵۱۲۶۱
Sh 10	۸۰	۰,۱۶۴	۰,۷۰۴۳۳	۰,۰۰۰۰۲۱	۰,۷۰۴۱۴	۰,۱۲۷	۰,۵۱۲۶۵	۰,۰۰۰۰۱۷	۱,۰۰	۰,۵۱۲۵۹

سنگ‌های منطقه آوج، افزون بر این فازها، درشتبلورهای الیوین نیز حضور قابل توجهی دارند. براساس مدلسازی ضریب جدایش برای Sr و Ba، نمونه‌های مورد بررسی دچار جدایش کلینوپیروکسن و الیوین (بازالت‌های آوج) و به مقدار کمتر Ni پلازیوکلاز (نوبران و حلب) شده‌اند (شکل ۷ الف). مدلسازی Ni نسبت به Zr نیز نشان می‌دهد که جدایش کانی‌های اکسیدی و الیوین نقش مهمی در تکامل نمونه‌های مورد بررسی داشته‌اند (شکل ۷ ب). تبلور فازهای اکسید آهن، الیوین و کلینوپیروکسن در نمودار V نسبت به Cr نیز تایید می‌شود (شکل ۷پ). نبود ناهنجاری Eu در نمونه‌های مورد بررسی می‌تواند تاییدی بر تفرقی ناچیز کانی‌های پلازیوکلاز در این مگماها باشد (شکل ۵ ب). در نمودار $\text{Al}_2\text{O}_3/\text{TiO}_2$ نسبت به Ti و بر پایه نتایج سنگ‌نگاری، سنگ‌های بازالتی در راستای روند تمایز مشخص شده توسط تبلور الیوین + پلازیوکلاز + کلینوپیروکسن + مگنتیت جایابی می‌شوند (شکل ۷ت).

تبلور جدایشی مقادیر کم تا به نسبت بالای Mg# ($13-2$) و MgO ($49.5-24.7$) و همچنین فراوانی کم کروم (کمتر از 20 ppm) و متغیر نیکل (کمتر از $360-20 \text{ ppm}$) در نمونه‌های مورد بررسی نشان می‌دهد که آنها نمی‌توانند ناشی از مagmaهای اولیه برآمده از گوشته (با $\text{Mg} \# < 400$) باشند و پس از ترک خاستگاه گوشه‌ای خود دستخوش دگرگونی شیمیابی زیادی شده و درجه‌های قابل توجهی از تبلور جدایشی را تجربه کرده‌اند [۳۸]. نمونه‌های بازالتی در هر یک از مناطق مورد بررسی روندهای متمایزی را در نمودارهای تغییرات اکسید عنصر اصلی نسبت به SiO_2 نشان می‌دهند، با این وجود، تبلور جدایشی در هرگروه دیده می‌شود (شکل ۵).

کلینوپیروکسن و پلازیوکلاز + بهندرت الیوین فازهای اصلی درشتبلور در نمونه‌های نوبران و حلب هستند، در حالیکه در



شکل ۷ نمودارهای نسبت عناصر اصلی و فرعی جهت بررسی تبلور جدایشی پس از تشکیل این سنگ‌ها در منطقه مورد بررسی. نشانه‌های استفاده شده مانند شکل ۴ هستند.

آلاپش، یوسته‌ای

با SiO_2 نقش گستردۀ آلودگی پوسته طی تکامل بیشتر نمونه-های بازیک مناطق مورد بررسی را رد می‌کند. از آنجا که تبلور جدایشی نمی‌تواند ترکیب‌های ایزوتوپی Sr و Nd را تغییر دهد، تغییرات ایزوتوپی در سنگ‌های آتشفشاری مناطق مورد بررسی شاید نشانگر تغییرات ایزوتوپی در خاستگاه گوشه‌های آنها یا ناشی از برهمنکنش پوسته و مagmaهای برآمده از گوشه‌ته باشد. مقادیر مثبت Nd/Sr (۸۰ میلیون سال)، مقادیر پایین نسبت به نبود همبستگی $\text{Sr}^{87}/\text{Sr}^{86}$ و $\text{Nd}^{143}/\text{Nd}^{144}$ با افزایش نسبت SiO_2 (شکل‌های ۸ ب، پ) بیانگر نقش کمرنگ آلایش پوسته‌ای کادومین ایران نسبت به تبلور جدایشی در خاستگاه این سنگ‌ها طی صعود magmaست.

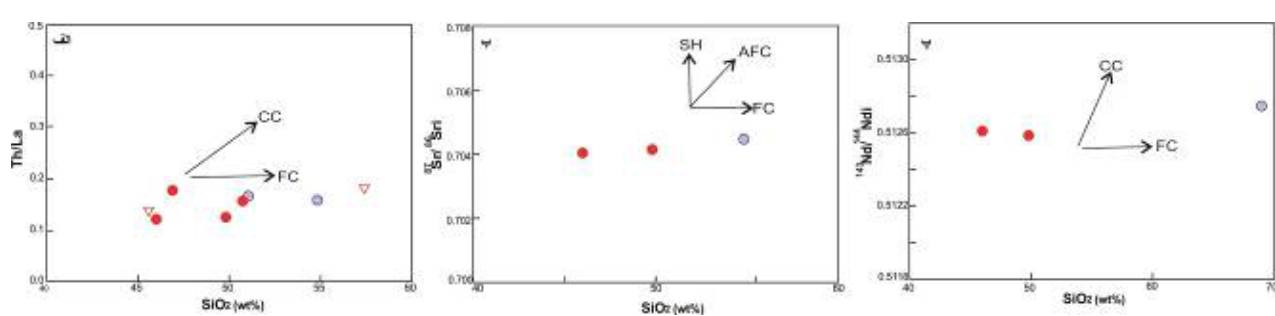
بسیاری از ویژگی‌های زمین‌شیمیایی بازالت‌ها (نسبت‌های عناصر کمیاب و ایزوتوپی) از خاستگاه گوشه‌ای آنها به ارث رسیده است و به طور قابل توجهی طی ذوب‌بخشی و تبلور جدایشی تغییر نیافته‌اند. در نمودار ایزوتوپی Sr-Nd، نمونه‌های منطقه آوج بر آرایه گوشه‌ای و در گستره OIB جایابی می‌شوند. این نمونه‌ها نسبت به نمونه‌های منطقه نوبران و حلب شبیه‌ترین الگوهای زمین‌شیمیایی را به (OIB) نیز نشان می‌دهند (شکل ۵). این در حالی است که سایر نمونه‌ها بین الگوهای E-MORB و OIB قرار می‌گیرند. به طور کلی، این ویژگی‌های ایزوتوپی و زمین‌شیمیایی نشان می‌دهند که نمونه‌های مورد بررسی از نظر ایزوتوپی از یک گوشه تهی شده شکل گرفته‌اند که توسط اجزای برآمده از سنگ کره فرورونده است. اقیانوسی (سیال‌ها یا مذاب) دگرنهاده و غنی شده‌اند.

به خوبی می‌دانیم که وقتی مذاب‌های بازالتی از میان پوسته عبور می‌کنند و روی یا درون آن قرار می‌گیرند، برخی از اجزای شیمیایی از پوسته می‌توانند به درون ماقماهای بازالتی وارد شوند. اغلب مواد پوسته‌ای در Zr و Hf غنی اما از Ta، Nb و شوند. تنهی شده‌اند [۳۹]. نمونه‌های مورد بررسی با ناهنجاری منفی Nb و Ti و نبود ناهنجاری مثبت Zr شناخته می‌شوند (شکل ۵) که به احتمال بسیار بیانگر اهمیت کم اثر پوسته قاره‌ای بر ماقماهای تشکیل دهنده این سنگ‌هاست.

از دیگر شاخص‌های حساس آلودگی پوسته، نسبت P_2O_5/K_2O است، چرا که سنگ‌های پوسته‌ای با ترکیب سیلیسی اغلب مقادیر کم (کمتر از ۰/۱) در حالیکه ماقماهای برآمده از گوشته اغلب نسبت‌های بالایی دارند [۳۹]. مقادیر بالای P_2O_5/K_2O در همه نمونه‌های مورد بررسی (۰/۷-۱/۰) به جز یک نمونه) بیانگر نبود آلودگی قابل توجهی از پوسته قاره‌ای د. خاستگاه این سنگ‌هاست.

برای بررسی بیشتر نقش آلودگی، می‌توان از نسبت عناصر کمیاب استفاده کرد. برای مثال، هر دو پوسته بالایی و پایینی نسبت Ce/Pb پایینی دارند (کمتر از ۵) [۴۰]، اما این نسبت برای ترکیب‌های گوشته و گوشته اولیه به ترتیب حدود ۲۵ و ۹ است [۴۱]. متوسط نسبت Ce/Pb در سنگ‌های مورد بررسی پر ایر با ۷/۷ بوده که بیشتر نزدیک به مقادیر گوشته‌ای است.

نقش احتمالی پوسته قاره‌ای براساس نمودار SiO_2 نسبت به Th/La به عنوان یک شاخص حساس به آلودگی پوسته نیز Th/La بررسی شد (شکل ۸ الف). همبستگی نداشتند مقادیر Th/La



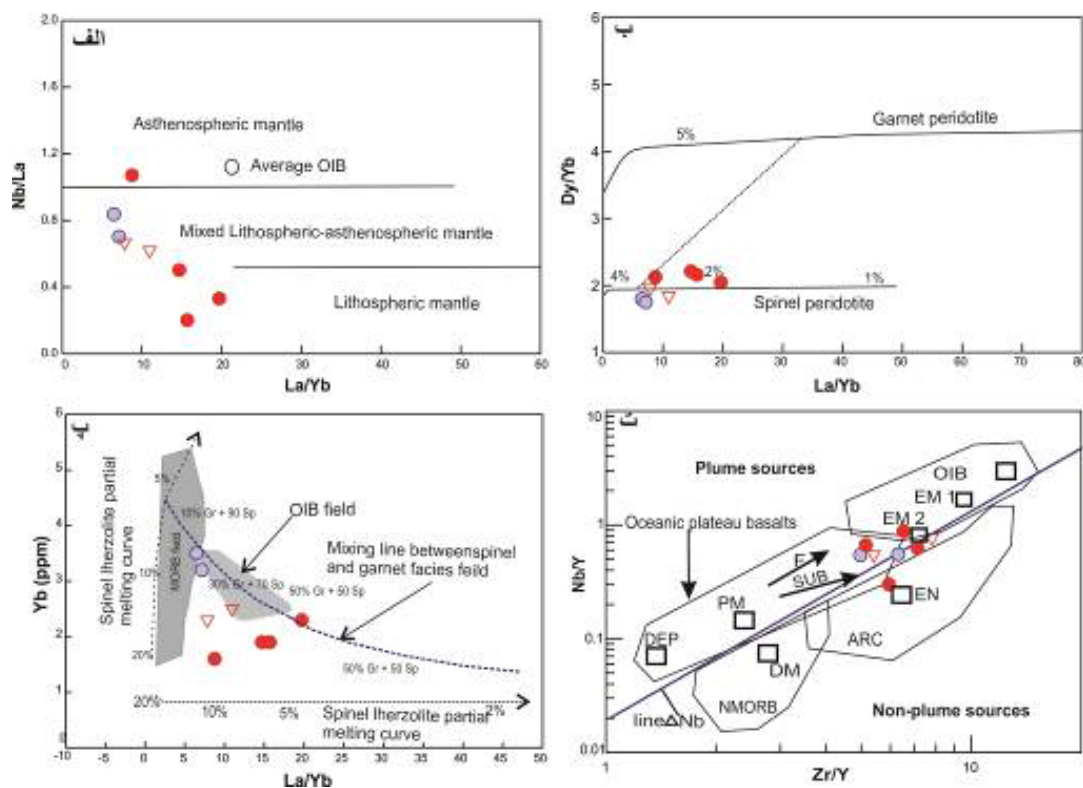
شکل ۸ نمودارهای SiO_2 نسبت به نسبت‌های ایزوتوپی و عناصر کمیاب برای نشان دادن نقش فرآیندهای آلایش و تبلور در نمونه‌های مورد بررسی. نشانه‌های استفاده شده مانند شکل ۴ هستند.

هستند.

از آنجا که مقادیر Y و Yb در مذاب‌های اولیه بوسیله گارنت باقیمانده طی ذوب گوشه پریدوتیتی [۴۲] عناصری بافر محسوب می‌شوند؛ مذاب‌های تولید شده از ذوب‌بخشی پریدوتیت‌های گوشه بالایی در گستره پایداری گارنت، مقادیر بالایی از La/Yb و Sm/Yb و مقادیر پایین Yb را نشان می‌دهند [۴۴]. این در حالی است که اسپینل دارای ضریب جدایش مشابه برای Yb، Gd و Dy با تنها جدایش بسیار جزئی طی ذوب در گستره پایداری اسپینل مشخص می‌شود. بنابراین، مقادیر REE‌ها و HFSE‌ها در اصل با درجه ذوب، بخشی و ترکیب‌های گوشه کنترل می‌شوند [۴۵]. از این رو، برای تعیین خاستگاه گوشه احتمالی سنگ‌های بازالتی مورد بررسی، مدل ذوب‌بخشی غیر مودال بر اساس La/Yb نسبت به Dy/Yb ارائه شده که نشان دهنده ذوب‌بخشی ۲ تا ۴ درصدی یک خاستگاه لرزولیت اسپینل‌دار به عنوان خاستگاه این سنگ‌هاست (شکل ۹ ب). البته، نمونه‌های منطقه آوج تمایل‌هایی را به سوی روند گارنت لرزولیت نیز نشان می‌دهند.

نسبت Zr/Ba به عنوان یک نشانگر زمین شیمیایی اغلب برای تشخیص بین خاستگاه سست کره‌ای (بیش از ۰/۵) و گوشه‌ای (بیش از ۰/۳) استفاده می‌شود [۴۲]. نسبت Zr/Hf و Zr/Ba نمونه‌های مورد بررسی به ترتیب در گستره‌های ۰/۳ تا ۰/۷ و ۳۲/۹ تا ۶۴/۴ قرار دارند که نشان دهنده یک خاستگاه آمیخته از گوشه‌های سست کره‌ای و سنگ کره‌ای برای این سنگ‌هاست. این نتیجه با جایای این نمونه‌ها در نمودار Nb/La نسبت به La/Yb نیز تایید می‌شود، که آنها در محل آمیختگی دو گوشه سست کره‌ای و سنگ کره‌ای قرار می‌گیرند (شکل ۹ الف).

ماگماهای بازالتی ناشی از یک خاستگاه گوشه‌ای گارنت‌دار مقادیر بالاتری از Tb/Yb نسبت به ماگماهای برآمده از یک گوشه اسپینل‌دار دارند. نسبت پایین Tb/Yb (۰/۲۸ تا ۰/۴۲) در نمونه‌های مورد بررسی بیانگر یک خاستگاه پریدوتیتی اسپینل‌دار برای همه آنهاست. خاستگاه اسپینل‌دار یا نبود گارنت در خاستگاه براساس مقادیر پایین Zr/Y (کمتر از ۶) و Nb/Y (کمتر از ۱) نیز قابل بررسی است. این نسبتها در نمونه‌های مورد بررسی به ترتیب از ۵ تا ۷/۸ و ۰/۹ تا ۰/۳ متغیر



شکل ۹ نمودارهای (الف) La/Yb نسبت به Nb/La، (ب) La/Yb نسبت به Dy/Yb و (ت) Zr/Y نسبت به Nb/Y [۴۶، ۴۷، ۴۸، ۴۹]، برای تعیین خاستگاه فعالیت ماقمایی در منطقه مورد بررسی. نشانه‌های استفاده شده همانند شکل ۴ هستند.

M) M/Yb می‌توان براساس نمودارهای نسبت عناصر کمیاب عنصر کمیاب مورد نظر (Yb/Nb) نسبت به Yb تعیین نمود [۵۴]. در صورت اضافه نشدن هیچ یک از عناصر Nb و Yb به گوشه‌های در نظامه‌های فرورانش افزودن مقادیر متغیر یک جزء پوسته‌ای غنی از عناصر کمیاب به گوشه منجر به مقادیری از M/Yb می‌شود که با ترکیب‌های ثابت و دائمی بازالت‌های اقیانوسی برآمده از گوشه (آرایه گوشه‌ای) متفاوت است. مقدار جابجایی M/Yb از آرایه گوشه به بزرگی سهم اجزای مربوط به فرورانش و درجه غنی‌سازی یا تهی‌شدگی خاستگاه بستگی دارد و کران بالای آرایه گوشه در این نمودارها به عنوان حدود ۲۰ تا ۳۰ درصد سهم اجزای فرورانش در خاستگاه ماقما تعبیر می‌شود [۵۳، ۳۳]. نمونه‌های مورد بررسی در نمودار Nb/Yb نسبت به M/Yb در منطقه بالای OIB جایابی می‌شوند که می‌تواند بیانگر تغییرات محلی در ناهمگونی خاستگاه و/یا مقادیر متغیر ذوب در خاستگاه در ارتباط باشد (شکل‌های ۱۰ ب، پ).

ناهنجاری منفی Nb و مقادیر ایزوتوبی Sr و Nd به احتمال بسیار نمایانگر ویژگی‌های ترکیبی یک خاستگاه گوشه‌ای تهی شده که با فرآیندهای در ارتباط با فرورانش غنی شده است هستند [۵۴]. این فرآیندها می‌توانند بازیافت و ترکیب‌های برآمده از پوسته اقیانوسی طی فرورانش با گوشه سنگ کره‌ای [۵۵] و یا برهمکنش زبانه‌های گوشه‌ای با مذاب‌های برآمده از گوشه سنگ کره‌ای در محیط کمانی باشند [۵۶].

نمودارهای Ba/La نسبت به Th/Yb و Th/Zr نسبت به Nb/Zr، اثر عوامل دگرنهادی مختلف (مایع‌ها در مقابل مذاب) را در مناطق فرورانش نشان می‌دهند (شکل‌های ۱۱ الف، ب). نمونه‌های مورد بررسی در این نمودار، در راستای روند عمودی که با مذاب‌های ناشی از رسوب و همچنین سیال‌ها کنترل می‌شود، جایابی می‌شوند.

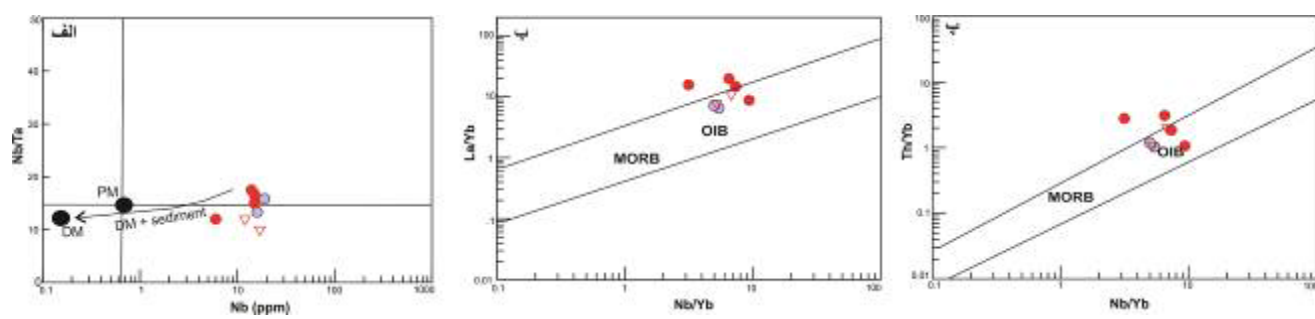
برای نشان دادن آلایش گوشه پیش از ذوب به عنوان خاستگاه سنگ‌های مورد بررسی بوسیله رسوبات یا مذاب‌های رسوبی مشتق شده از اسلب، از مدلسازی نسبت‌های ایزوتوبی $^{87}\text{Sr}/^{86}\text{Sr}$ ، $^{143}\text{Nd}/^{144}\text{Nd}$ اولیه نسبت به ^{144}Nd درصد وزنی رسوبات سنگ کره‌ای نوع مدیترانه حاصل شده‌اند.

افرون بر این، نسبت La/Nb تزدیک به ۱ و بزرگتر از ۱ در سنگ‌های بازیک مناطق مورد بررسی شکل‌گیری آنها از یک گوشته سنگ کره‌ای را پیشنهاد می‌کند [۵۰] و براساس نمودار La/Yb نسبت به Yb (شکل ۹ ب)، اغلب نمونه‌ها در روندی هماهنگ با گوشه اسپینل لرزولیت قرار دارند. البته، نمونه‌های منطقه آوج در گستره انتقال بین منحنی‌های ذوب گارنت لرزولیت و اسپینل لرزولیت قرار می‌گیرند که نشان دهنده خاستگاهی عمیق‌تر به احتمال بسیار پایداری گارنت برای آنهاست که سپس ذوب تا خاستگاه کم عمق‌تر در گستره اسپینل لرزولیت ادامه یافته است.

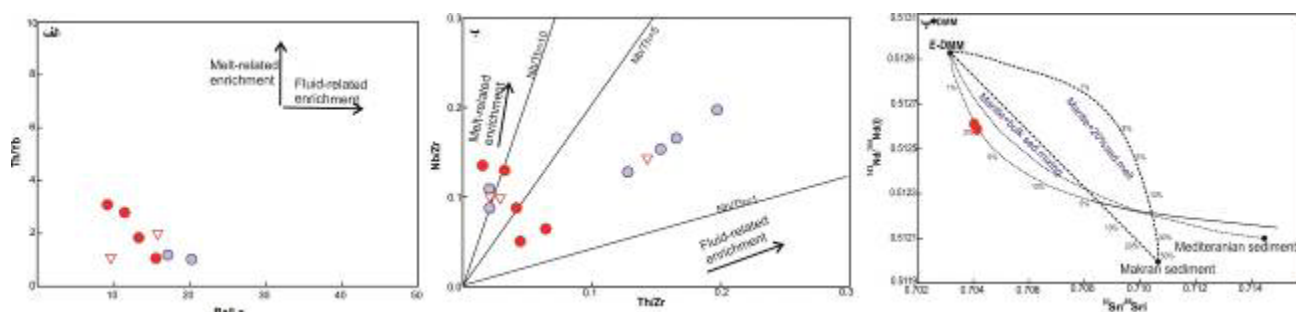
استفاده از مفهوم زبانه گوشه [۵۱] در عمق انتقال بین اسپینل و گارنت برای انجام پریدوتیت (۷۵ کیلومتر، [۵۲])، نشان می‌دهد که بالاً‌آمدن سست کره در نظامه‌های فرورانش تا عمق کمتر از ۸۰ کیلومتر نیز امکان‌پذیر است و در نتیجه می‌تواند گرمای مورد نیاز برای ذوب گوشه بالایی را در یک سامانه کششی فراهم کند. این نتیجه با نسبت‌های Zr/Y و Nb/Y نیز تایید می‌شود. نمونه‌های مورد بررسی با مقادیر بالای A/Nb و بین دو خط A/Nb و بین دو بخش خاستگاه در ارتباط و یا بی ارتباط به زبانه ماقمایی جایابی می‌شوند و می‌تواند نشان دهنده نقش احتمالی سست کره در تشکیل سنگ‌های کرتاسه باشد (شکل ۹ ت).

نقش اجزای فرورانش در خاستگاه
در نمودار Th/Yb نسبت به Nb/Yb، سنگ‌های دگرنهاده توسط سیال‌ها و مذاب‌های برآمده از رسوب‌های فرورانشی اغلب در گستره کمان‌های اقیانوسی و قاره‌ای جایابی می‌شوند. نمونه‌های مورد بررسی در این نمودار در راستای آرایه گوشه و نزدیک OIB قرار می‌گیرند که با شکل‌گیری آنها از یک گوشه غنی‌شده از نظر زمین‌شیمیایی در یک محیط کرانه فعال قاره‌ای همچوایی دارد که خاستگاه گوشه‌ای آنها در معرض مقادیر بالای اجزای فرورانش قرار نگرفته‌اند. با این وجود، جایابی نمونه‌های مورد بررسی در نمودار Nb/Ta نسبت به (شکل ۱۰ الف) به روشنی نقش تبلور جدایشی و ورود رسوب‌ها به خاستگاه ماقما را نشان می‌دهد [۵۳].

از نظر زمین‌شیمیایی، سهم گوشه نسبت به اجزای برآمده از پوسته اقیانوسی فرورونده طی سنگ‌زایی بازالت‌های کمانی را



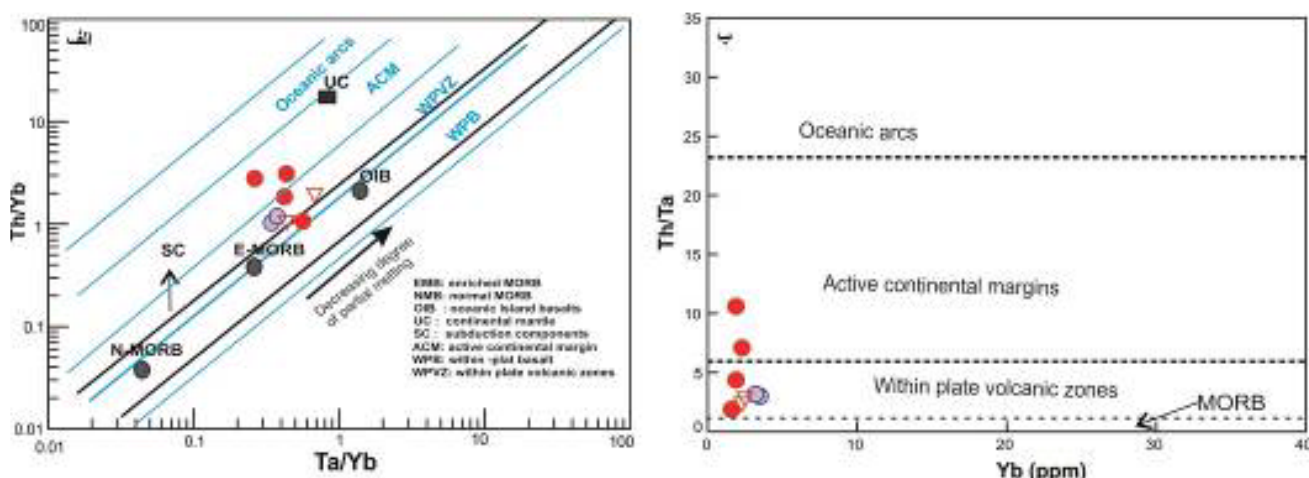
شکل ۱۰ نمودارهای (الف) Nb/Ta نسبت به Nb (ppm)، (ب) La/Yb نسبت به Nb/Yb و (پ) Th/Yb نسبت به Nb/Yb برای بررسی نقش اجزای فرورانش در خاستگاه سنگ‌های مورد بررسی.



شکل ۱۱ نمودارهای (الف) Ba/La نسبت به Nb (ppm)، (ب) Th/Yb نسبت به Th/Zr و (پ) Th/Yb نسبت به Th/Zr برای تعیین نوع اجزای فرورانش در خاستگاه سنگ‌های مورد بررسی. [۵۷] از مرجع [۵۹]، رسوب‌های مکران از مرجع [۶۰] و رسوب‌های مدیترانه‌ای از مرجع [۶۱].

آتشفسنایی حاشیه قاره‌ای رسم می‌شوند (شکل ۱۲) که بیانگر یک دوره آتشفسنایی در یک رژیم کششی است. چنین محیط‌هایی پیش‌تر برای ماقمایی مزوژوئیک در بخش‌های شمال غرب [۶۲] و جنوب [۶۳] پهنه ماقمایی سندنج-سیرجان نیز پیشنهاد شده است.

موقعیت زمین دینامیکی ماقمایهای کرتاسه
سنگ‌های آتشفسنایی کرتاسه پسین در آوج، نوبران و حلب ویژگی‌های زمین‌شیمیایی واضحی از محیط فرورانش را در نیمه شمالی پهنه ارومیه-دختر نشان می‌دهند. نمونه‌های مورد بررسی در نمودارهای تمایز زمین‌ساختی در گستره پهنه‌های ولکانیکی درون صفحه‌ای با تمایل به سمت کمان‌های



شکل ۱۲ (الف) نمودار Th/Yb نسبت به Ta/Yb [۳۵]، (ب) نمودار Yb نسبت به Th/Ta [۶۵].

گفتندی است که سنگ‌های بازیک مورد بررسی با ویژگی زمین شیمیایی شبیه به OIB مشخص می‌شوند که متفاوت از بازالت‌های پشت کمانی معمولی با ویژگی‌های MORB و جزایر کمانی (IAT) [۶۹] و شبیه سنگ‌های بازالتی پشت کمانی در آند جنوبی واقع در غرب آرژانتین، بازالت‌های رشته کوه ژانگ گوانگچای [۷۰] و ناوه آلیناوای میانی [۷۱] هستند.

مدل پیشنهاد شده در اینجا توسط پژوهش‌های پیشین [۹، ۷۲] نیز تایید می‌شود. برخی معتقدند که پس از شروع فروزانش نفوذتیس در زیر ایران مرکزی، یک حوزه پشت کمانی در شمال پهنه سندنج- سیرجان باز شده است و ماقماهایی با ویژگی‌های یک خاستگاه گوشه‌ای دگرنهاده شده با مقادیر کمی از سیال‌ها و یا مذاب‌های برآمده از سنگ کره اقیانوسی و مذاب‌های برآمده از گوشه (شبیه MORB و IAT) تولید شده‌اند.

مقایسه منطقه مورد بررسی با فعالیت ماقمایی کرتاسه پسین در کمان ماقمایی ارومیه- دختر

به طور کلی، فعالیت ماقمایی کرتاسه در ارومیه- دختر به ندرت رخداده و یا تا کنون انگشت شمار بررسی و گزارش شده است.

در منطقه میمه در شمال‌غرب اصفهان، رخمنون‌هایی از آتشفشارانی‌های کرتاسه با ترکیب داسیت، آندزیت و بازالت وجود دارند که ویژگی‌های زمین‌شیمیایی در ارتباط با فروزانش را نشان می‌دهند. این سنگ‌ها با ویژگی‌های شیمیایی عناصر کمیاب و خاکی‌نادر شبیه به نمونه‌های مورد بررسی، ماهیت آهکی قلیایی و مقادیر بالای Nb/Ta (بیش از ۱) مشخص می‌شوند [۷۳]. فعالیت ماقمایی کرتاسه میمه به خاستگاهی دگرنهاده که دستخوش آلایش پوسته‌ای شده‌اند، نسبت داده شده است.

فعالیت ماقمایی ۷۲ تا ۸۱ میلیون ساله بزمیان [۶۶] نیز مانند سنگ‌های مورد بررسی به سری نیمه قلیایی وابسته است و ویژگی‌های زمین‌شیمیایی شبیه گرانیتوئیدهای نوع I را نشان

در طول کرتاسه پیشین و میانی ماقمایی به سمت شمال ایران (پهنه ارومیه- دختر) مهاجرت کرده است. نبود فعالیت‌های ماقمایی در طول کرتاسه پیشین و وجود سنگ‌های نفوذی کرتاسه پسین (۷۲ تا ۸۱ میلیون سال) تنها در قسمت جنوبی (بزمیان و جیرفت) کمان ماقمایی ارومیه- دختر و تغییر شکل‌های زمین‌ساختی به همراه دگرگونی‌های ۸۰ تا ۱۰۵ میلیون ساله مکران در سنگ‌های ماقمایی بزمیان و جیرفت، بیانگر تغییر در سرعت همگرایی بین صفحه‌های عرب و اوراسیا بوده که سبب فعالیت دوباره ماقمایی کمانی در کرتاسه پسین شده است [۸].

در مورد چگونگی فعالیت ماقمایی در بخش شمالی کمان ارومیه- دختر بویژه مناطق مورد بررسی به نظر می‌رسد که پس از یک دوره سکون فعالیت ماقمایی در کرتاسه میانی که گوشه سست کره‌ای در آن زمان به کمترین مقدار خود رسیده یا به طور کلی محو شده است، سنگ کره فرورونده در کرتاسه پسین در زیر کمان ماقمایی ارومیه- دختر، به نسبت شیبدار شده و در مراحل بعدی شروع به عقبگرد کرده است. افزایش شیب و عقبگرد سنگ کره اقیانوسی سبب نازک شدگی، کشش در سنگ کره بالای فروزانش و بالاً‌مدن جریان‌های سست کره-ای [۶۵] و در نتیجه ذوب گوه گوشه‌ای دگرنهاده در میدان پایداری گارنت (کمتر) و اسپینل (بیشتر) شده و سرانجام فعالیت ماقمایی کرتاسه پسین به صورت جزئی در شمال زمین درز پهنه صفحه‌های عرب- اوراسیا در یک محیط کششی درون کمانی یا پشت کمانی از سرگرفته شده است. شار گرما و مذاب ناشی از بالاً‌مدن سست کره در مراحل بعدی، نظام کششی در گوشه سنت کره‌ای [۶۶] را در زمان ترشیری آسانتر نموده است. فعالیت ماقمایی نادر و پراکنده طی کرتاسه پسین در ارومیه- دختر مانند فعالیت ماقمایی در کمربند ماقمایی آند در شمال شیلی [۶۷] و شمال شرق آسیا [۶۸] است که در همه این موارد، پس از یک دوره فروزانش مسطح سنگ کره اقیانوسی، یک دوره اشتعال شدید ماقمایی دیده می‌شود.

مراجع

- [1] Stocklin J., Nabavi M.H., “*Tectonic Map of Iran 1:2,500,000*”, Geological Survey of Iran (1973).
- [2] Agard P., Omrani J., Jolivet L., Whitechurch H., Vrielynck B., Spakman W., Monie P., Meyer B., Wortel R., “*Zagros orogeny: a subduction-dominated process*”, Geological Magazine 148 (2011) 692–725.
- [3] Berberian M., King G.C.P., “*Towards a paleogeography and tectonic evolution of Iran*”, Canadian Earth Sciences 18 (1981) 210-265.
- [4] Hassanzadeh J., Wernicke B.P., “*The Neotethyan Sanandaj-Sirjan zone of Iran as an archetype for passive margin-arc transitions*”, Tectonics 35(1) (2016) 586–621.
- [5] Mohajjal M., Fergusson C.L., “*Dextral transpression in Late Cretaceous continental collision, Sanandaj-Sirjan Zone, western Iran*”, Journal of Structural Geology 22(8) (2000) 1125-1139.
- [6] Allahyari K., Saccani E., Pourmoafi M., Beccaluva L., Masoudi F., “*Petrology of mantle peridotites and intrusive mafic rocks from the Kermanshah ophiolitic complex (Zagros belt, Iran): Implications for the geodynamic evolution of the Neo-Tethyan oceanic branch between Arabia and Iran*”, Ofoliti 35(2) (2010) 71–90.
- [7] Ghalamghash J., Nèdèlec A., Bellon H., Voussoughi Abedini M., Bouchez J.L., “*The Urumieh plutonic complex (NW Iran): A record of the geodynamic evolution of the Sanandaj-Sirjan zone during Cretaceous times – Part I: Petrogenesis and K_{Ar} dating*”, Journal of Asian Earth Sciences, 35(5) (2009) 401-415.
- [8] Monsef I., Rahgoshay M., Whitechurch H., “*Petrogenetic variations of the Jurassic magmatic sequences of Hoseinabad-Hajiabad regions in Sanandaj-Sirjan Zone (south of Iran)*”, Petrology 1(4) (2011) 89-112.
- [9] Shaker Ardakani A.R., Arvin M., Oberhansli R., Mock B., Moeinzadeh S.H., “*Morphology and petrogenesis of pillow lavas from the Ganj*

می دهند. $^{87}\text{Sr}/^{86}\text{Sr}$ اولیه (0.7043 ± 0.0053) در سنگهای ماگمایی بزمان نیز به آلایش پوسته‌ای در مراحل نهایی تشکیل این سنگ‌ها نسبت داده شده است. بر پایه زمین‌شیمی عناصر کمیاب، خاستگاه ماگمایی بزمان یک گوشته دگرنهاده شده با ترکیب فلوگوپیت-اسپینل لرزولیت و یا فلوگوپیت-گارنت لرزولیت تشخیص داده شده است.

برداشت

فعالیت ماگمایی کرتاسه پسین در نیمه شمالی کمان ماگمایی ارومیه- دختر در منطقه نوبران- آوج- حلب با سنگ‌های آتشفسانی نیمه قلیایی معرفی می‌شود. سنگ‌های بازیک این مناطق با ویژگی‌های در ارتباط با فرورانش یعنی غنی‌شدگی LREE‌ها و ناهنجاری منفی Nb، Ta و الگوی LILE‌ها، مشخص می‌شوند. بر اساس داده‌های ایزوتوپی و زمین‌شیمیایی، خاستگاه این سنگ‌ها یک گوه گوشته سنگ کره‌ای دگرنهاده شده در پهنه انتقال بین گستره گارنت و اسپینل لرزولیت که با اجزای برآمده از سنگ کره اقیانوسی در پهنه فرورانش پیش از ذوب غنی شده‌اند.

مدل زمین پویایی ارائه شده در اینجا نشان می‌دهد که سنگ‌های مافیک منطقه مورد بررسی در یک نظام کششی درون کمانی ایجاد شده‌اند. در این منطقه، عقبگرد سنگ کره اقیانوسی و در پی آن، خیزش سست کره درون گوشته بالایی در زمان فرورانش، گرمای مورد نیاز برای ذوب گوشته و سپس آمیختگی جزئی با آن در زمان کرتاسه پسین پس از یک دوره سکون ماگمایی را فراهم نموده‌اند. این سنگ‌ها به عنوان نخستین تظاهرات ماگمایی در کمان ماگمایی ارومیه- دختر شناخته می‌شوند.

قدرتانی

این پژوهش با حمایت مالی دانشگاه هرمزگان به انجام رسیده است. نگارندگان از خدمات این دانشگاه و همه عزیزانی که در این پژوهش به نوعی کمک و همکاری نموده‌اند، نهایت سپاس و تشکر را دارند.

- [20] Ahmadzadeh G., Jahangiri A., Lentz B. D., Mojtabaei M., "Petrogenesis of Plio- Quaternary post- collisional ultrapotassic volcanism in NW of Marand, NW Iran", *Asian Earth Sciences* 39, 37–50 (2010).
- [21] Richards J.P., Sholeh A., "The Tethyan tectonic history and Cu-Au metallogeny of Iran, in: Richards, J.R., (Ed.), *Tectonics and metallogeny of the Tethyan orogenic belt*", Society of Economic Geologists Special Publication 19 (2016) 193–212.
- [22] Alavi M., "Tectonics of Zagros orogenic belt of Iran, new data and interpretation: Tectonophysics", v. 229 (1994) p. 211–238.
- [23] BERBERIAN F., (Pourhosseini), "Petrogenesis of Iranian plutons: Natanz and Bazman intrusive complexes", PhD Thesis, University of Cambridge, London(unpubl.) (1981).
- [24] Zahedmogaddam S., "Petrology and geochemistry of Cretaceous volcanic rocks in Shakhdar region, NW Ab-Garm", SW Qazvin (2017).
- [25] Dolan R., Van Loon J., Templeton D., "Assessment of ICP-MS for routine multielement analysis of soil samples in environmental trace element studies. Fresenius", *Journal of Analytical Chemistry* 336 (1990) 99–105.
- [26] Polat A., Hofmann A.W., "Alteration and geochemical patterns in the 3.7–3.8 Ga Isua greenstone belt", West Greenland: Precambrian Research 126 (2003) 197–218.
- [27] Winchester J.A., Floyd P.A., "Geochemical Discrimination of Different Magma Series and Their Differentiation Product Using Immobile Elements", *Chemical Geology* 20 (1977) 325-343.
- [28] Middlemost E.A.K., "Magmas and Magmatic Rocks. An Introduction to Igneous Petrology", Longman Group Ltd., London, New York, 266 p (1985).
- [29] Muller D., Rock N. M. S., Groves D. I., "Geochemical discrimination between shoshonitic and potassic volcanic rocks from different tectonic settings: a pilot study", *Mineralogy and Petrology*, 46 (1992) 259-289.
- ophiolitic complex, southeastern Kerman, Iran", Iranian Journal of Science 20 (2009)139–151.*
- [10] Gholipour S., Azizi H., Masoudi F., Asahara Y., Tsuboi M., "Zircon U-Pb ages, geochemistry, and Sr-Nd isotope ratios for early Cretaceous magmatic rocks, southern Saqqez, northwestern Iran", *Geochemistry* 81 (2021) 125687.
- [11] Amidi M., Emami M.H., Michel R., "Alkaline character of Eocene volcanism in the middle part of Iran and its geodynamic situation", *Geologische Rundschau* 73 (1984) 917-932.
- [12] Verdel C., Wernicke B.P., Hassanzadeh J., Guest B., "A Paleogene extensional arc flare-up in Iran", *Tectonics* 30, TC3008 (2011).
- [13] Eftekharnejad J., Stocklin J., Zahedi M., Hajian J., Houshmandzadeh A., Alavi M., "1,2500000 Scaled Map of Zanjan", Geological Survey of Iran (1969).
- [14] Caillat C., Dehlavi P., Jantin B.M., Nogol Sadat A., Hushmandzadeh A., Behruzi A., Lotfi M., Nazer N. K., Mahdavi M., "Geological map of Saveh 1:250,000 sheet", Geological Survey of Iran, Tehran (1984).
- [15] Bolourchi M.H., "Explanatory text of Kabudar Ahang Quadrangle Map, 1:250000", Geological Survey of Iran, 107 pp (1979).
- [16] Azizi H., Jahangiri A., "Cretaceous subduction-related volcanism in the northern Sanandaj-Sirjan Zone, Iran", *Journal of Geodynamics* 45 (2008) 178–190
- [17] Dilek Y., Imamverdiyev N., Altunkaynak S., "Geochemistry and tectonics of Cenozoic volcanism in the Lesser Caucasus (Azerbaijan) and the peri-Arabian region: collision induced mantle dynamics and its magmatic fingerprint", *International Geology Review* 52 (2009) 536-578.
- [18] Berberian F., Muir ID., Pankhurst R.J., Berberian M., "Late Cretaceous and early Miocene Andean-type plutonic activity in northern Makran and central Iran", *Journal of the Geological Society* 139 (1982) 605-614.
- [19] Berberian F., Berberian M., "Tectono-Plutonic Episodes in Iran", Geological Survey of Iran. 52 (1981) 566- 593.

- [39] Carlson R.W., Hart W.K., "Crustal genesis on the Oregon Plateau", *Geophysics Research* 92 (1987) 6191-6206.
- [40] Taylor S.R., McLennan S.M., "The Continental Crust: Its Composition and Evolution. Blackwell", Oxford (1985) 1-312.
- [41] Hofmann A.W., Jochum K.P., Seufert M., "Nb and Pb in oceanic basalts: new constraints on mantle evolution", *Earth and Planetary Science Letters* 79 (1986) 33-45.
- [42] Kurkcuoglu B.U., Iftar G.K., "A comparison of the effects of providing activity and material choice to children with autism spectrum disorders Appl Behav Anal" 43(4) (2010) 717-21.
- [43] Johnson K. T. M., "Experimental determination of partition coefficients for rare earth and high-field-strength elements between clinopyroxene, garnet, and basaltic melt at high pressures", *Contrib. Mineral. Petrology* 133 (1998) 60 - 68,
- [44] Liu Y.S., Gao S., Hu Z.C., Gao C.G., Zong K.Q., Wang D.B., "Continental and oceanic crust recycling-induced melt-peridotite interactions in the Trans-North China Orogen: U-Pb dating, Hf isotopes and trace elements in zircons from mantle xenoliths", *Petrology*, 51 (2010) 537-571.
- [45] Munker C., "The isotope and trace element budget of the Cambrian Devil River System, New Zealand: Identification of four source components", *Journal of Petrology* 41 (2000) 759-788.
- [46] Abdel-Rahman A.F.M., Nassar P.E., "Cenozoic volcanism in the Middle East: petrogenesis of alkali basalts from northern Lebanon", *Geological Magazine* 141 (2004) 545-563.
- [47] Thirlwall F. M., Upton B. G. J., Jenkins C., "Interaction between continentam lithosphere and Iceland plume-Sr-Nd-Pb isotope geochemistry of Tertiary basalts", *NE Greenland. J. Petrol.*, 35 (1994) 839-879.
- [48] Ozdemir r., Güleç N., "Geological and geochemical evolution of the quaternary Süphan Stratovolcano, eastern Anatolia, Turkey: evidence for the lithosphere-Asthenosphere interaction in [30] Harker A., "The natural history of igneous rocks", Methuen and Co., London, UK (1909).
- [31] Sun S.S., McDonough W.F., "Chemical and isotopic systematics of oceanic basalts: implications for mantle composition and processes", In: Saunders, A.D., Norry, M.J. (Eds.), *Magmatism in the Ocean Basins. Geological Society of London Special Publication* 42 (1989) 313-435.
- [32] Kamber B.S., Ewart A., Collerson K.D., Bruce M.C., Mac Donald, G.D., "Fluid-mobile trace element constrains on the role of slab melting and implications for Archean crustal growth modals", *Contribution to Mineralogy and Petrology*, 44 (2002) 38-56.
- [33] Leal L.R.B., Wilson T., Cunha J.C., Macambira M.J.B., "Archean tonalitic trondhjemitic and granitic plutonism in the Gavio Block, Sag Francisco Craton, Bahia", Brazil: geochemical and geochronological characteristics *Rev. Brasil Geocienc.*, 28 (1998) 209-220.
- [34] Rollinson H.R., "Using geochemical data: evaluation, presentation, interpretation", Longman Scientific and Technical (1993) 352p.
- [35] Pearce J.A., "A user's guide to basalt discrimination diagrams. In WYMAN D. A. (ed.) *Trace Element Geochemistry of Volcanic Rocks: Applications for Massive Sulphide Exploration*", 79-113, Geological Association of Canada, Winnipeg (1996).
- [36] Humphris S.E., Thompson G., "Trace element mobility during hydrothermal alteration of oceanic basalts", *Geochimica et Cosmochimica Acta* 42 (1978) 127- 36.
- [37] Hastie A.R., Kerr A.C., Pearce J.A., Mitchell S.F., "Classification of altered volcanic island rocks using immobile trace elements: development of the Th-Co Discrimination Diagram", *Journal of Petrology*, 48 (2007) 2341-2357.
- [38] Rollinson H.R., "Using geochemical data: Evaluation, presentation, interpretation. Longman Scientific and Technical", Wiley, New York 352 (1993).

- (DMM)", *Earth and Planetary Science Letters* 231, (2005) 53-72.
- [61] Plank T., "The chemical composition of subducting sediments. In *The Crust* (ed. R. L. Rudnick)", *Treatise on Geochemistry* (second ed.) (eds. H. Holland and K. Turekian) Elsevier, Oxford 4 (2014) 607–629.
- [62] Klaver M., Djuly T., de Graaf S., Sakes A., Wijbrans J., Davies G., Vroon P., "Temporal and spatial variations in provenance of Eastern Mediterranean Sea sediments: Implications for Aegean and Aeolian arc volcanism", *Geochimica et Cosmochimica Acta* 153 (2015) 149-168.
- [63] Azizi H., Asahara Y., "Juvenile granite in the Sanandaj-Sirjan Zone, NW Iran: late Jurassic-Early Cretaceous arc-continent collision", *International Geology Review* 55 (2013) 1523-1540.
- [64] Nazemie M., Arvin M., Dargahi S., "Geochemistry and source characteristics of Dehsard mafic volcanic rocks in the southeast of the Sanandaj-Sirjan zone, Iran: implications for the evolution of the Neo-Tethys Ocean", *Turkish Journal of Earth Sciences*, 27 (2018) 249-268.
- [65] Kamber B.S., Collerson K.D., "Role of "hidden" deeply subducted slabs in mantle depletion", *Chemistry and Geology* 166 (2000) 241–254
- [66] Chiu H. Y., Chung S. L., Zarrinkoub M. H., Mohammadi S. S., Khatib M. M., Iizuka Y., "Zircon U-Pb age constraints from Iran on the magmatic evolution related to Neotethyan subduction and Zagros orogeny", *Lithos* 162–163 (2013) 70–87.
- [67] Feng G., Dilek Y., Niu X., Liu F., Yang J., "Geochemistry and geochronology of OIB-type, Early Jurassic magmatism in the Zhangguangcai range, NE China" as a result of continental back-arc extension. *Geological Magazine* (2018).
- [68] Haschke M.R., Scheuber E., Guñther A., Reutter K.J., "Evolutionary cycles during the Andean orogeny: repeated slab breakoff and flat subduction?" *Terra Nova* 14 (2002) 49–55.
- [69] Wu F., Yang J., Xu Y., Wilde S. A., Walker R. J., "Destruction of the North China craton in the Mesozoic", *Annual Review of Earth and Planetary Sciences* 47 (2019) 173–195.
- [70] Gribble R.F., Stern R.J., Bloomer S.H., Stüben D. O., Hearn T., Newman S., "MORB mantle and subduction components interact to generate basalts in the southern Mariana trough back-arc basin", *Geochimica et Cosmochimica Acta* 60 (1996) 2153–66.
- post-collisional volcanism" *Journal of Petrology*, 55 (2014) 37-62.*
- [49] Condie K.C., "High field strength element ratios in Archean basalts: A window to evolving sources of mantle plumes? *Lithos* 79 (2005), 491–504.
- [50] Erturk M.A., Beyarslan M., Chung S.L., Lin T.H., "Eocene magmatism (Maden Complex) in the Southeast Anatolian Orogenic Belt: Magma genesis and tectonic implication", *Geoscience Frontiers* 9 (6) (2017).
- [51] Plank T., Langmuir C.H., "Effects of the melting regime on the composition of the oceanic crust", *Geophysical Research* 97(19) 749-19 (1992) 770.
- [52] McKenzie D., O'Nions R. K., "Partial melt distribution from inversion of rare earth element concentrations", *Petrology* 32 (1991) 1021-1091.
- [53] Wang B.D., Wang L.Q., Chung S.L., Chen J.L., Yin F.G., Liu H., Li X.B., Chen L.K., "Evolution of the Bangong-Nujiang Tethyan Ocean: Insights from the geochronology and geochemistry of mafic rocks within ophiolites", *Lithos* 245 (2016) 18-33.
- [54] Pearce J.A., "Role of the Sub-Continental Lithosphere in Magma Genesis at Active Continental Margins. In: Hawkesworth, C.J. and Norry, M.J., Eds., *Continental Basalts and Mantle Xenoliths*", Shiva Cheshire, UK (1983) 230-249.
- [55] Hofmann A.W., Jochum K.P., Seufer M., White W.M., "Nb and Pb in oceanic basalts: new constraints on mantle evolution", *Earth and Planetary Science Letters* 79 (1986) 33–45
- [56] Hofmann A.W., White W.M., "Mantle Plumes from Ancient Oceanic Crust. *Earth and Planetary Science Letters*", 57 (1982) 421-436.
- [57] Lassiter J.C., DePaolo D.J., "In: *Plume/lithosphere interaction in the generation of continental and oceanic flood basalts: Chemical and isotopic constraints*", American Geophysical Union, Washington D.C 100 (1997) 7-5.
- [58] Woodhead J.D., Hergt J.M., Davidson J.P., Egging S.M., "Hafnium isotope evidence for 'conservative' element mobility during subduction zone processes", *Earth and Planetary Science Letters* 192 (2001) 331–346.
- [59] Furman T., Graham D., "Erosion of lithospheric mantle beneath the East African Rift system: geochemical evidence from the Kivu volcanic province", *Developments in Geotectonics* 24 (1999) 237-262.
- [60] Workman R.K., Hart S.R., "Major and trace element composition of the depleted MORB mantle

chromitites in the Neyriz ophiolite from the outer Zagros ophiolite belts, Iran”, African Earth Science 78 (2013) 1-15.

[73] Sharaf Sh., Heydari Fetrat Z., “*Petrogenesis of Cretaceous magmatism in northwestern Isfahan, Urmia Dokhtar magmatic arc*”, 11th national geological conference of Payam Noor University and 21st Geological conference of Society of Iran, Qom.

[71] Shinjo R., Chung S.L., Kato Y., Kimura M., “*Geochemical and Sr-Nd isotopic characteristics of volcanic rocks from the Okinawa trough and Ryukyu Arc: implications for the evolution of a young, intracontinental back arc basin*”, Journal of Geophysical Research: Solid Earth 104 (1999) 10591–608.

[72] Rajabzadeh M.A., Dehkordi T.N., Caran S., “*Mineralogy, geochemistry and geotectonic significance of mantle peridotites with high-Cr*